

U a 1970 zoda!

Личинки и яйца (ΔHf^0) 1970

Аракасов Ю. А., 8 VIII 3751

Ж. физ. хим.; 1970, 44, № 3, 808-10 Орас,

Пеории амфицидов в связи
с методами для сравнительно-
ного расчёта переходных
свойств.

25

Р. М. (3)

Библиотека

CA 1970/13, N^o 4965j

$\alpha, \beta, \gamma - U$

VII-4958

1940

(31074a) Adiabatic calorimetric enthalpy measurements for α -, β -, and γ -uranium and the heats of the transformations $\alpha \rightarrow \beta$ and $\beta \rightarrow \gamma$. Clifton, David G. (Los Alamos Sci. Lab., Los Alamos, N. Mex.). *U.S. At. Energy Comm.* 1970, LA-4521, 13 pp. (Eng). Avail. Dep. NTIS. From *Nucl. Sci. Abstr.* 1971, 25(7), 13653. Enthalpy of the α , β , and γ phases of high-purity depleted ^{235}U was measured, and values for the heats of the $\alpha \rightarrow \beta$ and $\beta \rightarrow \gamma$ transformations were obtained. These measurements were made during development of an adiabatic calorimeter designed to measure heat effects on condensed-phase samples in the temp. range from ~ 500 to 1000° . The calorimeter is described.

L.A. 1941. 95. 12

U [T_{tr}]

1970

Wisher E.S., Revel D.

Fluid State Compress. At 9 psig, bit-653

Effect of hydrostatic pressure on the
low temperature phase transition in
alpha-manganese.

D.W. Aebles

Latex

U

1970

Revegues
cb-fa

B92-623D-VII

Margrave J.I.D., High Temp.-High
Pressures, 1970, 2, N6, 583-586.

LL

1970

 ΔH_{Vj} ΔH_{mj}

80

125741k Simple relations among heats of evaporation, heats of melting, and energies of dissociation of diatomic metal molecules. Martynkevich, G. M. (USSR). *Zh. Fiz. Khim.* 1970, 44(2), 325-30 (Russ). The heat of evapn. ΔH_1 of a metallic atom is related to the energy of dissociation E_2 of the diat. mol. and to the heat of melting E_m of this metal through the generally valid empirical relations $\Delta H_1/E_2 \sim 1.9$ and $\Delta H_1/E_m \sim 26$. Dissocn. energies of the diat. mols. of 33 metals are tabulated.
M. Dokladal

+32

C.A. 1970.72.24



Th, Pa, U, Np, α -Pu, β -Pu, δ -Pu(Cp) 1970

Mendelssohn K.,⁸ VIII 4462

Acta Phys. Pol., 1970, A38, № 4,
459-66 (arivd.)

Properties of transuranic
metals.

5

12



CA, 1971, 44, N16, 293753

U[ETR]

Vito

Palmay C., Fisher B.S.

Southgate (Canton), W.H.S. No. 655-158

Specimen individual, of an old-matured
single crystal under pressure.

P.K.P. Gevers - Ternu.

1970

и

11 E1151. Низкотемпературные измерения теплоемкости при высоких давлениях. Smith T. F., Philips N. E. Low temperature heat capacity measurements at high pressure. «Colloq. int. CNRS», 1970, № 188, 191—195. Discuss., 195 (англ.; рез. франц.)

Описана конструкция калориметра. Приведены результаты измерений теплоемкости U и Ce под давлением до ~10 кбар. Библ. 18.

Резюме

Гр.

(+1)

09.1970. 119

10

1970

д. И

1 Б747. Измерения низкотемпературной теплоемкости при высоких давлениях. Smith T. F. Phillips N. E. Low temperature heat capacity measurements at high pressure. «Colloq. int. CNRS», 1970, № 188, 191—195. Discuss., 195 (англ.; рез. франц.)

Описано устройство калориметра для измерения низкотемпературной теплоемкости при давл. до 12 кбар. Изучена сверхпроводимость α -U и обнаружено, что объемная сверхпроводимость проявляется при давл. выше 10 кбар. Определен коэф. $\gamma = 12,2 \text{ мдж/моль}\cdot\text{°К}^2$ при $P = 10 \text{ кбар}$. Обнаружено, что в Se $\gamma \rightarrow \alpha$ переход происходит при $P = 8 \text{ кбар}$. Обсуждена природа этого перехода.

П. М. Чукров

+1

Х. 1971. 1

d-U

VIT - 4336

1970

25207p Low-temperature phase transitions in α -uranium.
Steinitz, M. O.; Burleson, C. E.; Marcus, J. A. (Northwestern
Univ., Evanston, Ill.). *J. Appl. Phys.* 1970, 41(13), 5057-9
(Eng). Strain-gage thermal expansion and anisotropy of sus-
ceptibility measurements indicate the existence of 3 phase
transitions below 50°K in α -U. Two of the transitions are of 1st
order and one is of the 2nd order.

RCJL

C.A. 1971 X4-6

VIII-3691

1970

59953c Correlation of enthalpy and entropy in sufficiently equivalent systematic errors; vaporization of uranium. Thorn, R. J. (Chem. Div., Argonne Nat. Lab., Argonne, Ill.). *J. Chem. Phys.* 1970, 52(1), 474-6 (Eng). Reported data on the vaporization of U are examd., and the correlation between the enthalpy and entropy of vaporization are discussed. The criterion that ΔS° must agree with the abs. entropies is a necessary but insufficient condition. Another necessary criterion can be found in the slope of the correlation of $\Delta H^\circ(\Delta S^\circ)$. The slope of $\Delta H^\circ(\Delta S^\circ)$ can be a useful indicator concerning systematic errors.

BGJN

DPJ

ASV

C.A. 1970. 72. 12

U

7 E433. Корреляция энталпии и энтропии при достаточно эквивалентных систематических ошибках; испарение урана. Thorn R. J. Correlation of enthalpy and entropy in sufficiently equivalent systematic errors, vaporization of uranium. «J. Chem. Phys.», 1970, 52, № 1, 474—476 (англ.)

1970

исследование

На основании литературных эксперим. данных по давлению паров, энтропии (ΔS^0) и энталпии (ΔH^0) испарения U обсуждены некоторые линейные соотношения между ΔH^0 и ΔS^0 . Результаты термодинамич. рассмотрения и эмпирич. исследования этих корреляций свидетельствуют о том, что наклон ΔH^0 (ΔS^0) может быть полезным индикатором, указывающим на систематич. ошибки. С учетом влияния некоторых примесей в U на значения ΔH^0 и ΔS^0 найдено, что требование согласования ΔS^0 с абс. энтропией является необходимым, но не достаточным условием. Указывается, что из наклона ΔH^0 (ΔS^0) могут быть выведены и другие полезные критерии. Библ. 15.

В. Ф. Байбуз

ф. 1970. 43

11

1971

5 Б538. Структура β -урана. Дополнение Янгга.
Einspanht Howard. The structure of β -uranium.
«Acta crystallogr.», 1971, B27, № 9, 1740—1743 (англ.)

Ввиду существенных противоречий, имеющихся в результатах неоднократных структурных исследований модификации β -U, устойчивой в диапазоне темп. 661—772°, предпринято трехмерное уточнение МНК (по приведенным в лит-ре наборам d и I рентгенограмм порошка) структуры в трех различных вариантах с ф. гр. $P4_2/mnm$, $P4_2nm$ и $P4n2$. Получены значения R , равные 0,28, 0,24 и 0,28, соотв., не позволившие отдать предпочтение какой-либо из этих мало различающихся моделей. Одна из ранее опубликованных рентгенограмм порошка (см. Thewlis J, Acta Cryst. 1952, 5, 790) содержит целый ряд пропусков рефлексов и не может быть использована для определения истинной ф. гр.; приведен новый вариант индексирования этой рентгенограммы.

С. В. Рыкова

X. 1972. 5

$U(\text{mb})$

Fitzgibbon G. C., et al. 1971

SH paetstop

GRCE

J. Chem. Thermodyn.

1971, 3, n1, 151.

(See. UCly) I

Th, Pa, U, Np, Pu (s. Hsolin, 6 HCl + ¹⁹⁷HgCl₂)
Cs₂ThCl₆, Cs₂PuCl₆, Cs₂UCl₆,
Cs₂NpCl₆ (mb) VIII 4812

Fuger J., Brown D., J. Chem.
Soc., 1971, A, NZ, 841-48

ll.B

(60)

ca 1971

U;Th (*Musca annularis*) VIII 5940 1971

Kayser D.C., Britten R.A., Johnson V.H.

St. Masses Fundam. Constants, Proc.

Int. Conf., 4th, 1971 (Pub. 1972), 172-9

(ann.)

Recent Minnesota mass
results.

M 

CA, 1973, 73, N.22, 130489h

U

VIII-5239

1941

61294 Boiling point of uranium. Randol, A. G., III; Schneid-
er, R. T.; Kylstra, C. D. (Nucl. Fuel Serv., Inc., Wheaton,
Md.). *NASA Spec. Publ.* 1971, NASA SP-236, 181-5 (Eng).
The b.p. of U, which increased from 3847 to 4847°K, resp., at
1.0 and 6.8 atm total pressure, was detd. with the use of a modi-
fication of the W. B. Nottingham equation (1926) for elec. arc
potential vs. current, from the temp. of a U anode under He
atm. in a high-pressure d.c. arc (max. current 160 A) app. de-
veloped for generating U plasmas. Application of the model for
detg. elec. arc characteristics is described. The arc is struck
between a tipped W cathode pin and a ²³⁸U anode pellet which is
contained in a W crucible brazed into the Cu anode pedestal.
Both electrodes are internally cooled with a single-pass water
flow. The pressure cell is designed for 200 atm at a wall temp.
of 500°F.

C.A. 1942.

#62

U Oetting F.L., Rand M.H., 1971

3695

Ackermann R.J.

The Chemical Thermodynamics of
Actinide Elements and Compounds.
Part 1. The Actinide Elements.

IAEA, Vienna, 1976

U - AHs

May-1974

1971

U

UC

25097q Vapor pressure of uranium over uranium monocarbide. Solov'ev, G. I. (USSR). *Met. Metalloved. Chist. Metal.* 1971, No. 9, 80-4 (Russ). The vapor pressure of U was detd. by the Langmuir method under vacuum at 1875-2380°K in the compn. range $UC_{0.97}$ - $UC_{1.0}$. The U pressure increases greatly when the C content decreases whereas the heat of sublimation decreases.

G. Thirot

(p)

C.A. 1981.77.4

21 (терм. сб.-ва,) 8 VIII 5083 1971
en Q Id.

Зайцев А.А., Комолина Р.А.,

Am. зиерг., 1971, 30, № 5, 450 (русск.)

Влияние давления на фундамент
электротехнического распределения
при высоких температурах.

10

7



СА, 1971, 75, N 10, 67570с

U

1225

Ackermann R. & Pach E.G.

1972

Lauritsen

High Temp. Sci., 1972,

1, p. 496

10.

21(OK₂)

Chernovacsieva et al. (SG)

1972

David F.; VIII 5517 8

Radiochem. Radioanal. Lett., 1972,
12, 116, 311-24 (9 pages.)

Systematic study of the redox
properties of the elements.

M.B.

(see: opinion) CA, 1973, 78, N12, 76539h

1972

130489h Recent Minnesota mass results. Kayser, D. C.;
Britten, R. A.; Johnson, W. H. (Sch. Phys. Astron., Univ.
Minnesota, Minneapolis, Minn.). *At. Masses Fundam. Con-
stants, Proc. Int. Conf.*, 4th 1971 (Pub. 1972), 172-9 (Eng).
Edited by Sanders, J. H. Plenum: New York, N.Y. The at.
masses of ^{235}U , ^{238}U , and ^{232}Th were detd. by mass spectrometry
using a peak notching technique for measurements of the mass
doublets. For each isotope, 2 sep. doublets were measured.
The results are $^{235}\text{U} 235.043921 \pm 2$, $^{238}\text{U} 238.050790 \pm 2$, and
 $^{232}\text{Th} 232.038060 \pm 2$.

(+1) Th

A

CA1973

79, 22

Б9-5660-VIII

1972

и

22 Б649. Расчет константы равновесия реакции ионизации урана и степени ионизации урановой плазмы. Котомина Р. А. «Изв. высш. учеб. заведений. Химия и хим. технол.», 1972, 15, № 7, 1111—1112

Для давл. $0,01 \leq p \leq 100$ атм и т-р $1000 \leq T \leq 20\,000^\circ\text{K}$ рассчитаны константы равновесия реации тепловой ионизации атома урана и степени ионизации урановой плазмы.

Резюме

Кр

X. 1972. 22

γ -U, UAl₄, UAl₃, UAl₂ (ΔH , ΔS , ΔG)

1972

VIII-5600

Лебедев В.А., Саитников В.Н.,

Чекиков Н.Ф., Распопов С.Н.,

Журн. энерг., 1972, 32, №2, 115-18

(русск.)

Пермогорнодзюбеское свойства
силавов уран - атомных.

Изд. №

СА, 1972, 76, №24, 145738а

VIII - 5566

1982

U

118767c Superconducting transition temperature and magnetic susceptibility of polycrystalline α -uranium under pressure.
Maple, M. B.; Wohilleben, D. (Inst. Pure Appl. Phys. Sci., Univ. California, La Jolla, Calif.). *Phys. Lett. A* 1972, 38(5), 351-2 (Eng). The superconducting transition temp., T_c , of polycryst. U decreases monotonically with pressure from its max. of 2.1°K at ~ 10 kbars. The sample remains normal down to 0.35°K at the highest exptl. pressure (≥ 160 kbars). Extrapolation of the data below 0.35°K suggests that T_c goes to zero at ~ 106 kbars. The room-temp. magnetic susceptibility increases linearly with pressure by $\sim 4\%$ at 0-10 kbars.

T_{tr}

C.A.

1982. 76.20

U

ommuck 3597

1972.

Margrave Z. L.

Collag. Inst. Cent. Nat.

Tm, ♂ Hm

♂ Sm, Cp.

Reet. sci., 1972, N 205,

41-7.

UN (Hg-Hg, Cp, ΔH_f) and U(III) LigZ9

Oeding F.B., Leibniz J.S. VIII 5426

J. Chem. Thermodyn., 1972, 4, No. 199-211 (see)

The chemical thermodynamic properties
of nuclear molecules. Uranium

Monoxide.

Phys., 1929

175329

M 5 CP

$U(x, u)$

1572

Thejus

TN.

Racine St., Berthaut C.

1942. High Temp - High Press.

4,485-491.

Tetragonal $\lambda \rightarrow \beta$ $T = 943\text{ K}$

$\beta \rightarrow \gamma$ $T = 1048\text{ K}$

$T_{m1} = 1401\text{ K}$

1972

d-22

(C_p)

66992w Low-temperature heat capacity measurements at high pressure. Smith, T. F.; Phillips, N. E. (Mater. Phys. Div., At. Energy Res. Establ., Harwell/Didcot/Berkshire, Engl.). *Colloq. Int. Cent. Nat. Rech. Sci.* 1969 (Pub. 1970), No. 188, 191-5 (Eng). Low-temp. heat capacities (C) at $P \leq 12$ kbar can be measured with a precision of 0.2-0.3% by using the described calorimeter, which consists essentially of a small piston and cylinder arrangement (overall dimension 2.5 cm, length 3.75 cm, mass ~ 150 g) constructed entirely from high-purity Cu-2.1% Be alloy (heat-treated for full hardness). For α -U at $T = 0.3\text{--}6^\circ\text{K}$ and $P = 10$ kbar under a magnetic field $H = 2$ kOe, C (mJ/mole degree) = $12.2T + 0.323T^3$; for $H = 0$ with increasing temp., C/T increased steeply to a max. at $T \approx 1.75^\circ\text{K}$, then decreased, and finally became equal to the values obsd. for $H = 2$ kOe. Bulk superconducting behavior for α -U exists at $P > 10$ kbar, but not at $P = 0$. For Ce at $T = 0.3\text{--}6^\circ\text{K}$, $P = 11 \pm 1$ kbar, and $H = 0$ or 2 kOe, the heat capacity could be fitted with the usual low-temp. expression for the sum of the lattice and the electronic heat capacities, where the electronic heat capacity coeff. was $\gamma = 11.3$ mJ/mole (degree)², and the Debye temp. was $\theta_D = 200^\circ\text{K}$.

C.A. 1972. 77. 10

U

U-812.

1972

Be

ΔH_m; ΔH_f, 165073z Heats of fusion of uranium and beryllium. Radenac, A.; Berthaut, C. (Commis. Energ. At., Cent. Etud. Bruyeres-le-Chatel, Montrouge, Fr.). *High Temp.-High Pressures* 1972, 4(5), 485-91 (Fr). The transformation and fusion enthalpies of pure U and Be were detd. as part of a study of the heat of formation of U-Be compds. A calorimeter described previously by the authors was used, and the samples were kept in sealed containers in view of their strong reactivity at high ten. The exptl. method is briefly described and the results obtained are given and compared with published data.

C.A. 1973 78 N 26

(+1) A

α -U (моноцистали)

1973

5 E641. Изучение влияния высокого давления на фазовое превращение в монокристаллах α -U при 37° К калориметрическим методом. Chu C. W., Knapp G. S. High pressure study of the 37 K phase transition of α -U single crystal by an ac calorimetric technique. «Phys. Lett.», 1973, A 46, № 1, 33—35 (англ.)

сразу же
после Калориметрический метод, основанный на измерениях изменений т-ры, которые вызываются нагреванием

образца переменным током, использован для изучения изменений т-ры фазового превращения в монокристалле α -U. Установлено, что $dT/dP = + (3,6 \pm 0,2)$ град/кбар.

Б. Могутинов

ф. 1974 N 5

U

VIII - 5934

1973

100958p High-pressure study of the 37°K phase transition of α -uranium single crystals by an a.c. calorimetric technique. Chu, C. W.; Knapp, G. S. (Dep. Phys., Cleveland State Univ., Cleveland, Ohio). *Phys. Lett.* A 1973, 46(1), 33-5 (Eng). The effect of hydrostatic pressure on the phase transition of α -U single crystals at 37°K was studied by an a.c. calorimetric method. The pressure dependence of the transition temp., T_2 , is $dT_2/dP = (3.6 \pm 0.2)^\circ\text{K/kbar}$.

C.A. 1974. 80. N18

2-11

VIII-5773

1973

11 E546. Термоемкость и превращения в α -уране при низких температурах. Grange J., Термогат. Heat capacity and transformations in alpha uranium at low temperature. «J. Phys. F: Met. Phys.», 1973, 3, № 6, 1097—1105 (англ.)

(C_p) В диапазоне от 2 до 70°К исследована теплоемкость двух поликристаллических и одного псевдомонокристаллич. образца α -U. Во всех трех образцах вблизи 43°К имеется аномалия, природа которой недостаточно ясна. Авторы полагают, что она может быть связана с магн. разупорядочением. На псевдомонокристалле в районе 22 и 37°К обнаружены аномалии, имеющие гистерезисный характер при нагреве и охлаждении и, по-видимому, связанные со структурными переходами. При низких т-рах коэф. электронной теплоемкости изменяется у этих образцов от 10,0 до 9,14 мдж/К·моль.

В. Е. Зиновьев

ф. 1973 № 11

U

VIII - 5443

1973

} 58390z Heat capacity and transformations in alpha uranium
at low temperatures. Crangle, J.; Temporal, J. (Dep. Phys.,
Univ. Sheffield, Sheffield, Engl.). *J. Phys. F* 1973, 3(6), 1097-
105 (Eng). The heat capacity of 2 polycryst. specimens and of
1 pseudo single crystal of alpha U were measured at 2-70°K.
An anomaly of uncertain origin appears in all the samples at
43°K. If it is tentatively ascribed to a magnetically ordered
state the mean magnetic moment per atom is about $6 \times 10^{-2} \mu_B$.
Only the pseudo single crystal shows addnl., apparently 1st order,
effects at 22°K, and 37°K.

(C_p)

C.A. 1974. 79 n/10.

$\mathcal{U}(Ku)$

1973

Q_p

Cranial F., Temporal F.

1973, J. Phys. F. 3, 1097

Cp at 2K so 40K.

Список 1967

1973

и

} 7 Е659. Температура плавления урана при высоких давлениях. Ganguly J., Kennedy G. C. The melting temperature of uranium at high pressures. «J. Phys. and Chem. Solids», 1973, 34, № 12, 2272—2274 (англ.)

(T_m)

Температура плавления ($T_{пл}$) урана, заключенного в танталовый сосуд, определялась методом ДТА после выдержки образцов при высоких т-рах в течение 1 ч. Найдено, что $T_{пл}$ непрерывно повышается с ростом давления, наклон кривой $\sim 4,1^\circ/\text{кбар}$. $T_{пл}$ при $P=1$ атм на 27° ниже значения, приведенного в справочнике Хансена, что объясняется возможным влиянием Та и O_2 . Предполагая, что за счет малой растворимости Та теплоты плавления и объемные изменения при плавлении U меняются незначительно, авторы считают, что кривая плавления может быть получена парал. смещением экспериментальной кривой $T_{пл}/P$ вдоль оси T на 27° .

Е. С.

ф. 1974 № 7

1973

U

(T_m)

124924a Melting temperature of uranium at high pressures. Ganguly, J.; Kennedy, G. C. (Inst. Geophys. Planet. Phys., Univ. California, Los Angeles, Calif.). *J. Phys. Chem. Solids* 1973, 34(12), 2272-4 (Eng). The effect of pressure on the m.p. of U was detd. from 9 to 41.4 kbar. The pressure/m.p. curve is a straight line with a slope of 4.1°/kbar. The results are in disagreement with those of N. Asami et al. (1961) who found a max. at ~1180°. The possible sources of errors in the results of A. et al. are discussed.

C.A. 1974. 80. N22

1973

U

14 Б941. Температура плавления урана при высоких давлениях. Ganguly J., Kennedy G. C. The melting temperature of uranium at high pressures. «J. Phys. and Chem. Solids», 1973, 34, № 12, 2272—2274 (англ.)

Методом ДТА с применением аппарата типа поршень — цилиндр изучена зависимость т-ры плавления U от давления. Исследования проведены на цилиндрич. образце U чистотой 99,9%, помещенном в Та-капсулу и содержащем поэтому примеси Та и кислорода. Установлено, что с повышением гидростатич. давл. т-ра плавления урана повышается, причем эта зависимость является практически линейной. Т-ра плавления U составляет 1144, 1162, 1180, 1199, 1221 и 1276° при давл. 9; 13,5; 18,0; 23,4; 28,9; 36,0 и 41,4 кбар соотв. Оцененная рассчитанная зависимость т-ры плавления от давл. чистого U (не содержащего Та и О) выражается кривой, повторяющей форму экспериментальной, но лежащей несколько выше (в среднем, на 27°). А. В. Салов

(T_m)

2.1974. N14.

caus Expressana J.A. 1943

Koegel

(196, 200, 205)

Hultgren R., et al.

m. op.

go 5000K

Selected Values of the
Thermodynamic Properties
of the Elements. U.S. Ohio,
ASCE, 1973, p. 535.

И, И⁺, И²⁺ (Cp) VIII 5707 1973

Котомкина Р.Я., Зайчев А.А.,

Годнев И.Н., Агешонкова Ю.Я.

Тр. Иванов. хим.-технол. ин-та, 1973,

бюл. 15, 42-45

Расчет электронных теплоракосмей
29300 образованного урана и его членов.

ЛСТБ Ф.К.

РДКХ хим., 1973



10 (Ф)

245902

L1973

U

Matzke, H.j;
Politis, C.

camogrupp. "Solid State Commu"

b UC₂ 1973, 12 (5) 401-4.

● (ver. UC₂; ~~I~~ I)

Актиноидные (ΔH_f , ΔH_{ad}) 8 1973
составлены

Моск. Биц А.И. VII 5579

Радиохимия, 1973, 15, № 3, 353-362.

Некоторые термодинамические
характеристики "процессов образования
вакансий актиноидных соединений в
твёрдом виде. I Энергия и энтропия
криSTALLической решётки. Термодинамическое
исследование растворения.

РДН Кург., 1973

205562

М (Р)

U

VIII-5938

1973

(ΔH_{soln} of HNO₃)

100762v Enthalpy of solution of uranium in nitric acid.
Navratil, J. D.; Oetting, F. L. (Dow Chem. U.S.A., Golden,
Colo.). Report 1973, RFP-2097, 6 pp. (Eng). Avail. IDEP.
NTIS. From *Nucl. Sci. Abstr.* 1973, 28(12), 29729. The
enthalpies of solution of U in 15.9 and 12.7 M HNO₃ were mea-
sured calorimetrically at 25.0° as -250.8 ± 3.3 and -242.0 ±
0.9 kcal mole⁻¹, resp. Calorimetric measurements were also
detd. for the heat of soln. of U in HNO₃ at 38.0°, in HNO₃ contg.
U, and for different U:HNO₃ ratios.

C.A. 1974. 80 N18

A-2243

1973

U "gp. (stH_S, stH_T) OMM. 12.32

Nugent L.J., Burnett J.L., Morss L.R.
J. Chem. Thermodynamics,
1973, 5, N5, 665-678

• M.B.B

Prex, 1974, 45 603

Pu

U

Be

(T_{t2})

VIII-5807

1983

70756f Development of differential enthalpic analysis. Radenac, A.; Berthaut, C. (Cent. Etud. Bruyeres-le-Chatel, Mont-rouge, Fr.). *Bull. Inform. Sci. Tech., Commis. Energ. At.* (Fr.) 1973, No. 180, 43-50 (Fr). The topics reviewed with 12 refs. include: principles and theory of differential enthalpic anal. (DEA), description of the calorimeter and thermopile, applications of DEA for studying allotropic transformations (Pu, U, Be), and exptl. precision.

P.A.

1973 Nr. 79

t2



1973

II

7 E546. Фазовые превращения U, Pu и Np. Rech-tien J. J., Nelson R. D. Phase transformations in uranium, plutonium, and neptunium. «Met. Trans.», 1973, 4, № 12, 2755—2765 (англ.)

Обзор. Приведены данные о кристаллографич. модификациях U, Pu, Np, температурных интервалах их стабильности, термодинамич. характеристиках фазовых превращений (ФП). Основное внимание уделяется особенностям $\alpha \rightleftharpoons \beta$ -ФП в этих металлах и сплавах на их основе. $\beta \rightarrow \alpha$ -ФП может проходить по двум механизмам: диффузионному вблизи т-ры равновесия фаз и по сдвиговому при низких т-рах. ФП может сопровождаться образованием промежуточных метастабильных фаз. В сплавах U—Сг при средних т-рах ФП является бейнитным. Рассмотрено влияние пластич. деформации, прикладываемых напряжений, размера зерен на характеристики $\alpha \rightleftharpoons \beta$ -ФП. Особенности ФП в данных материалах сравниваются с характеристиками превращений в других металлич. системах. Библ. 97. И. М. Р.

фазов.
превр

ф. 1974 № 7

(72)



U

²³⁸, ²³⁵.

1973

Scandenaw P.A.

cp

BTT, n16,

IS-373K

P-70

d-U

VIII-5984

1973

140740x Superconductivity and phase transitions in single-crystal and polycrystal α -uranium at high pressure. Smith, T. F.; Fisher, E. S. (Inst. Pure Appl. Phys. Sci., Univ. California, La Jolla, Calif.). *J. Low Temp. Phys.* 1973, 12(5-6), 631-41 (Eng). The superconducting transition temp. T_c of single-crystal and polycryst. U was detd. as a function of hydrostatic pressure P to 24 kbar. Although the general form of the $T_c(P)$ variation is similer for the 2 types of material, features are present in the detailed behavior for the single-crystal samples which are not found for polycryst. samples. These features are presumed to be assocd. with the 1st-order transitions obsd. at zero pressure. A low-temp. phase diagram was constructed and the electronic nature of the various phases is discussed.

CA1973

79, N24

U-238 (xe) Stephens H.P.,
L.S. Nelson

1973
1331

(H_T^o - H₂₉₈^o)
(C_P)

"Самог. нориз. хим. межевое
бес. температур 1000 - 4000°К
3-7 сен. 1973, Бенг, Аберфейл.
разр 1, CTP 22-28

XVIII-225 1974

и

12 E177. Экспериментальное уравнение состояния жидкого урана для очень высоких температур. Gathers G. R., Shaner J. W., Young D. A. Experimental, very high-temperature, liquid-uranium equation of state. «Phys. Rev. Lett.», 1974, 33, № 2, 70—72 (англ.)

Урановые проволочки, находившиеся в атмосфере Не под давлением до 4 кбар, подвергались быстрому электрич. нагреву при разряде через них батареи конденсаторов. Измерение диаметра образцов жидкого U проводилось после достижения термодинамич. равновесия, которое устанавливалось через несколько микросекунд после окончания импульса тока. Определены объемы и энталпии образцов жидкого U при известном давлении. Проведено сравнение полученных изобар энталпия — объем с результатами, полученными на основе

ΔHf

ф. 1974 N 12

⊗ +1 в Р.Г.

различных теорий жидкости. Показано, что экспериментальные данные согласуются с теорией мягких сфер до т-р $\sim 9000^{\circ}\text{K}$. С использованием теории мягких сфер оценены критич. постоянные U , равные $T_{\text{кр}} = 12434^{\circ}\text{K}$, $v_{\text{крит}} = 0,2662 \text{ м}^3/\text{Мг}$ и $P_{\text{крит}} = 4,95$ кбар. Определено также электросопротивление образцов U в течение расширения и получены кривые сопротивление—энталпия. Получено количеств. согласие между динамич. и статич. данными, которое подтверждает предположение, что в течение всего периода импульсного нагрева образцы U близки к термодинамич. равновесию.

В. Ф. Байбуз

α, β -U

XVIII-688

1974

(Dz)

66505p Experimental and theoretical methods for studying thermodynamic properties of γ -uranium solid solutions. Ivanov, O. S.; Vamberskii, Yu. V.; Udovskii, A. L. (USSR). *Fiz.-Khim. Anal. Splavov Urana, Toriya Tsirkoniya* 1974, 5-19 (Russ). Edited by Badaeva, T. A. "Nauka": Moscow, USSR. The exptl. and theor. methods of thermodn. study of bcc. solid solns. are discussed. The Debye temp. and temp. dependence of Young modulus of α -U and γ -U were calcd. and the results are compared with the published results.

C.A. 1975. 83. 118

КК 42350

1974

И (нр) Определение энталпии твердых
и газа и Урана с помощью
калирического с твердыми агрегатами.

Stephens H.P.

($H_T - H_0$) " High Temp. Sci" 1974, 6, N2, 156-166

($C_p; \Delta H_m$) (автор)

(автор; T)

$$C_p(4, n) (1408 - 2000k) = 11,6 \pm 0,3 \text{ kJ/m}^2$$

$$\Delta H_m = 2203 \pm 142 \text{ kJ/kg} = \\ = 9217 \text{ J/g}$$

U(Ku)
K-U^c₁₅₈

(K/K 42350)

1974.

Stephens H.P

1974. High. Temp. Sci. ^{✓2} 6, 156.-166

Pilipow, 1974, N11

Наша гуманитарная областно-научная
конференция будет проходить впервые
также при поддержке

1974

87: 157296v Mass-spectrometric study of the evaporation of uranium from the uranium + tantalum carbide (Ta_2C) system. Spitsyn, V. I.; Glazunov, M. P.; Gavrish, A. A. (USSR). *Tezisy Dokl. - Vses. Konf. Khim. Urana, 1st 1974*, 89 (Russ). Akad. Nauk SSSR, Gos. Kom. Ispol'z. At. Energ. SSSR: Moscow, USSR. The evapn. of U from Ta_2C -coated Ta cells was studied mass-spectrometrically by the effusion method at $1800\text{--}2500^\circ$. U^+ , UO^+ and UO_2^+ ions were obsd. over the U- Ta_2C system at $\leq 2000^\circ$; above this temp., U^+ , UC^+ , UC_2^+ and C^+ ions are present. The temp. dependence of the satd. vapor pressure of U was correlated by $p(\text{atm}) = 27310/T - 1.715$ at $< 1950^\circ$ and $p = 33040/T - 1.992$ at $1950\text{--}2200^\circ$; T is abs. temp. The heat of sublimation of U at $1950\text{--}2000^\circ$ is -160 ± 6 kcal/mole. As found by x-ray diffraction, U forms carbides with free C at > 2.1 wt.% C.

D. B. Ocenaskova

C.A. 1974, 22 1420

1975

U

19465r Elastic constants of polycrystalline α -uranium.
Abey, A. E.; Bonner, B. P. (Lawrence Livermore Lab., Univ. California, Livermore, Calif.). *J. Appl. Phys.* 1975, 46(4), 1427-8 (Eng). The elastic consts. of polycryst. α -U were detd. as a function of pressure. Measurements were made in the range from 100 kpascals to 1.8 Gpascals. The initial Lame const. λ is 53 Gpascals, the initial shear modulus μ is 86, and the bulk modulus is 110 Gpascals. The value for $d\mu/dP$ is 2.99. This is the largest $d\mu/dP$ reported thus far for any element.

P.A. 1975. 83 N2

70317.7361

Ch, Ph, Mt

GR

1975

~~(Cp)~~, ~~K, C, U~~ (cp)

XV-3306

(Cp)

K p.N 70317.7333K

Bastide J. P., Loriers C., Massat H.,
Vodar B.

Specific heat of five metals up to 100
kbar.

"Int. Conf. Electron. Prop. Solids High Pres.,
Leuven, 1975". Leuven, 1975, 59

(англ.)

0834 РНК

б

791 791

25

ВИНИТИ

Li, Na, Sr, Ba, Pb, U,
Fe, Eu (P, ΔH_V , S° , G_P).

1975

Hornung K.,

IX-5714

J. Appl. Phys., 1975, 46 (6),
2548-58.

(БФ)

Liquid metal coexistence
properties from corresponding
states and the JWL law.

2025 07 19 16:57:55 m.

15

1975

W_{2,19}W_{2,34}

T.g. сб-б9

23 Б853. Определение энталпии нестехиометрических окислов урана и сапфира до 1500 К в калориметре смешения. Marchidan D. I., Ciopres M. Enthalpy of non-stoichiometric uranium oxides and sapphire to 1500 K by drop calorimetry. «Rev. roum. chim.», 1975, 20, № 2, 143—158 (англ.)

В прецизионном калориметре смешения определена энталпия $UO_{2.19}$ (I), $UO_{2.34}$ (II) и сапфира N. B. S. в трной области 400—1500 К по отношению к 298,15 К. Результаты для I и II представлены в виде эмпирич. полиномиальных ур-ний 4 видов. Рекомендованные зависимости $H_T^\circ - H_{298,15}^\circ$ с миним. станд. отклонением выбраны на основании этих ур-ний с учетом того, чтобы для $T=298,15$ К расчетное значение $H_T^\circ - H_{298,15}^\circ$ было близко к нулю. Получено (дж/моль): I $H_T^\circ - H_{298,15}^\circ = 56,495T + 8,088 \cdot 10^{-3}T^2 + 14,932 \cdot 10^{-6}T^3 - 17940,5$ (300—860 К); II $H_T^\circ - H_{298,15}^\circ = 122,227T - 47,63 \cdot 10^{-3}T^2 + 21,028 \cdot 10^{-6}T^3 - 37715$ (860—1500 К); II $H_T^\circ - H_{298,15}^\circ =$

(+) Al_2O_3

X 1975 № 23

$$= -43,573T + 87,11 \cdot 10^{-3}T^2 - 7,037 \cdot 10^6/T + 29136,2 \quad (300-865 \text{ K}),$$

$$H_T^\circ - H_{298,15}^\circ = -9,729T + 68,51 \cdot 10^{-3}T^2 - 14,707 \cdot 10^{-6}T^3 + 15,583,4 \quad (865-1350 \text{ K}),$$

$$H_T^\circ - H_{298,15}^\circ = 1303,5T + 450,89 \cdot 10^{-3}T^2 - 40,743 \cdot 10^{-5}T^3 - 1489,403 \quad (1350-1500 \text{ K}).$$

Фазовому переходу I в области 855—865 К отвечает $\Delta H_{tr} = 1000 \pm 65$ дж/моль; двум переходам II в областях 860—870 К и 1335—1355 К — значения $\Delta H_{tr} = 1500 \pm 75$ и 2800 ± 95 дж/моль соотв. Значения $H_T^\circ - H_{298,15}^\circ$, C_p° , $S_T^\circ - S_{298,15}^\circ$ и $S_T^\circ + (G_T^\circ - H_{298,15}^\circ)/T$ для I и II табулированы в интервале 300—1500 К с шагом 50 К.

При 1500 К они составили соотв.: I 109 427 дж/моль, 121,277; 151,151 и 72,952 дж/моль·град; II 106 587; 41,251; 1869,906 и 73,508. Результаты измерений энталпии сапфира использованы для определения фактора калибровки калориметрич. блока по сравнению с фактором «электрич.» калибровки. А. Гузей

1975

U_{2,19}

U_{2,34}

49142a Enthalpy of nonstoichiometric uranium oxides and sapphire to 1500°K by drop calorimetry. Marchidan, D. I.; Ciopesc, M. (Cent. Phys. Chem., Bucharest, Rom.). *Rev. Roum. Chim.*, 1975, 20(2), 143-58 (Eng). The enthalpies of uranium $\text{UO}_{2.19}$, $\text{UO}_{2.34}$, and sapphire (US National Bureau of Standards sample) were detd. by drop calorimetry at 400-1500°K. A transition with an assoc. enthalpy increment of 1000 ± 65 J/mole occurs for $\text{UO}_{2.19}$ at $855-865^\circ\text{K}$ and 2 transitions with assoc. enthalpy increments of 1500 ± 75 and 2800 ± 95 J/mole occur at $860-87^\circ$ and $1335-1355^\circ\text{K}$, resp. for $\text{UO}_{2.34}$. The values of enthalpy functions, heat capacity, entropy, and free energy function are tabulated. The sapphire results are used for detn. of the calibration factor of the calorimetric block in comparison with the elec. calibration factor.

T_{tx}, 4 Hz

Cp, G_{tx}

C.A. 1975, 83 n6

U

139-787-XVIII

1975

) 2 E373. Энталпия урана до 1500° К [измеренная] с помощью калориметрии смешения. Marchidan D. I., Ciopres M. Enthalpy of uranium to 1500 K by drop calorimetry. «4ème Conf. int. thermodyn. chim., Montpellier, 1975. Vol. 3». S. l., s. a., 55—62 (англ.)

Для энталпии α U (300—940,5° K) получено $H^\circ(T) - H^\circ(298,15^\circ \text{K}) = -0,04735 - 14,80398T + 64,81189 \cdot 10^{-3}T^2 - 24,40503 \cdot 10^{-6}T^3$ (стандартное отклонение 0,82%), для β U (940,5—1048° K) $H^\circ(T) - H^\circ(298,15^\circ \text{K}) = 0,02568 + 52,45209 \cdot 10^{-6}T + 35,5058 \cdot 10^{-3}T^2 - 6,8172 \cdot 10^{-6}T^3 + 29,7437T^{-2}$ (0,16%) для γ (U) (1048—1405° K) $H^\circ(T) - H^\circ(298,15^\circ \text{K}) = -0,00647 + 20,04042T + 17,9538 \cdot 10^{-3}T^2 - 4,68091 \cdot 10^{-6}T^3$ (0,17%), для жидкого

$$H_T^\rho = H_0^\rho$$

φ 1977 N 2

U (1405—1500° K) $H^\circ(T) - H^\circ(298,15^\circ \text{K}) = -0,02360 +$
 $+ 34,5814T + 4,5911 \cdot 10^{-3}T^2$ (0,10) дж/г·атом. Значения энталпии превращений получены равными $\Delta H_{\alpha-\beta} =$
 $= 2556 \pm 75$, $\Delta H_{\beta-\gamma} = 4182 \pm 85$, $\Delta H_{\text{пл}} = 6979 \pm 120$ дж/г·
атом. Проведены расчеты теплоемкости U как суммы решеточного (дебаевского) вклада, электронной теплоемкости и разности $C_p - C_v$ по Нернсту—Линдеману. Разность между эксперим. данными и результатами расчетов рассматривается как ангармонич. вклад. Теплоемкость решетки составляет $\sim 50\%$, электронный вклад $\sim 25\%$, разность $C_p - C_v \sim 14\%$, избыточная теплоемкость $\sim 11\%$. Библ. 20.

4 Б828. Определение энталпии урана до 1500 К
методом смешения. Magchia dan D. T., Ciopres M.
Enthalpy of uranium to 1500 K by drop calorimetry.
«4ème Conf. int. thermodyn. chim., Montpellier, 1975.
Vol. 3.» S. I., s. a., 55—62 (англ.).

1975

Методом смешения определена энталпия U (I) в
интервале от 372 до 1471 К. Использовались Pt-кон-
тейнеры, увеличение веса контейнера с в-вом после про-
ведения 79 опытов не превышало 0,003 %. Опытные дан-
ные представлены ур-ниями $H_T - H_{298,15} = -0,04735 -$
 $14,80398 \cdot T + 64,81189 \cdot 10^{-3} \cdot T^2 - 24,40503 \cdot 10^{-6} \cdot T^3$ дж/г-ат
 $(\pm 0,8\%)$ (α -I, $298 < T < 940,5$); $H_T - H_{298,15} = 0,02568 +$
 $+ 52,45209 \cdot 10^{-6} \cdot T + 35,5058 \cdot 10^{-3} \cdot T^2 - 6,81726 \cdot 10^{-6} \cdot T^3 +$
 $+ 29,74371 \cdot T^{-1}$ ($\pm 0,16\%$) дж/г-ат (β -I, $940,5 < T < 1048$);
 $H_T - H_{298,15} = 0,00647 + 20,04042 \cdot T + 17,9538 \cdot 10^{-3} \cdot T^2 -$
 $4,68091 \cdot 10^{-6} \cdot T^3$ ($\pm 0,17\%$) дж/г-ат (γ -I, $1048 < T < 1405$);
 $H_T - H_{298,15} = -0,02360 + 34,5814 \cdot T + 4,5911 \cdot 10^{-3} \cdot T^2$
 $(\pm 0,10\%)$ дж/г-ат (жидк. I, $1405 < T < 1500$). Определе-
ны теплоты фазовых превращений $\alpha \rightarrow \beta$, $\Delta H = 2556 \pm$
 ± 75 дж/г-ат, $\beta \rightarrow \gamma$, $\Delta H = 4182 \pm 85$ дж/г-ат и ΔH пл. =
= 6979 ± 120 дж/г-ат. Полученные данные сравниены с
ранее опубликованными. Проведено выделение различ-
ных вкладов в теплоемкость I при $T > 298$ К. Электрон-

Б99 - 787 - ХVIII

$H_T - H_{298,15}$

$\Delta H_{\text{пл.}}$

X. 1977

14

зная составляющая оценена в 25%, поправка на расширение в 14%, а нгармонич. вклад 11%. Л. Резницкий

кие с
до?

B92 - 787 - XVIII

1975

W

"84: 80558k Enthalpy of uranium to 1500°K by drop calorimetry. Marchidan, D. I.; Ciopesc, M. E. (Cent. Phy. Chem., Bucharest, Rom.). *Conf. Int. Thermodyn. Chim., [C. R.]*, 4th 1975, 3, A55-62 (Eng). Edited by Rouquerol, Jean; Sabhah, Raphael. Cent. Rech. Microcalorimétrie Thermochim. C.N.R.S.: Marseille, Fr. The enthalpy of high-purity U (7110-61-1) turnings was detd. in an Ar atm. to 1500°K by drop calorimetry. Three transitions in the regions 910, 1018 and 1405°K are obsd. as predicted by J. J. Rechtien and R. D. Nelson (1973). Empirical equations relating enthalpy with temp. were derived for each region. Differentiation of the enthalpy equations yields heat capacity equations from which entropy data was obtained.

$H_f^{\circ} - H_o^{\circ}$

C_p , S_f°

E.A. 1976.84 N12

L-20

**45-11511*

1975

5 Е365. Теплоемкость α -урана при низких температурах и ее связь с зависимостью T_c от давления.
Bader S. D., Phillips Norman E., Fisher E. S.
Low-temperature heat capacity of α -uranium and its relation to the pressure dependence of T_c . «Phys. Rev. B: Solid State», 1975, 12, № 11, 4929—4940 (англ.)

(C_p)

Измерения проведены в интервале т-р 0,1—2°К методом импульсного нагрева. Изучены 5 образцов включая один монокристалл. Значения коэф. электронной теплоемкости γ у поликристаллов оказались значительно большими, чем у монокристалла. Особенности поведения теплоемкости поставлены в связь с аномально большой зависимостью фононного спектра от давления, которая сказывается и на зависимости от давления критич. температуры. Библ. 47.

Ф 1976 № 5

L-U

#L-11511

1975

84: 65990b Low-temperature heat capacity of α -uranium and its relation to the pressure dependence of T_c . Bader, S. D.; Phillips, Norman E.; Fisher, E. S. (Lawrence Berkeley Lab., Univ. California, Berkeley, Calif.). *Phys. Rev. B* 1975, 12(11), 4929-40 (Eng). The heat capacities of 5 samples of α -U [7440-61-1] including 1 single crystal, were measured at ~ 0.1 - 2°K , at zero pressure. The 4 polycryst. samples showed broad bulk superconducting transition. The single crystal, for which susceptibility measurements showed a transition near 0.3°K was not completely superconducting at the lowest temp. of measurements, and $T \leq 0.1^\circ\text{K}$. The shapes of the heat-capacity anomalies assocd. with the transitions to the superconducting state were those of broadened BCS transitions, thus showing that local moments and pair-breaking mechanisms are not involved in limiting the values of T_c . The values of γ , the coeff. of the electronic heat capacity, were significantly higher for the polycryst. samples than for the single crystal, and there is evidence from other work of a similar trend in the lattice heat capacity. It is suggested that these trends are related to the pressure dependence of the same parameters, and that these pressure dependences and that of T_c are all produced by an unusual and strong dependence of the phonon spectrum.

C.A. 1976. 84 n10

U

1975

Bastide J.P.; et al.

Cp

Int. Conf. Electron. Prop.
"Solids High Pres. Leuven
1975," Leuven '75, 59'

(cu. Cu; I)

и

1975

Bsp - 1463 - XVIII

5 Б801. Теплоемкость урана при 20° и давлениях 0—100 кбар. Bastide J. P., Lorigier-Susse C. Chaleur spécifique de l'uranium entre 0 et 100 kbar à 20° C. (Résumé). «4ème Conf. int. thermodyn. chim., Montpellier, 1975. Vol. 4.» S. I., s. a., 5 (франц.)

(C_p)

Методом импульсного нагрева определена теплоемкость урана при 20° и давл. 0—100 кбар. Учтено влияние потерь теплоты в передающей давл. среде. Результаты измерений проанализированы с помощью ур-ния Дебая — Ми — Грюнайзена. Вычислено изменение т-ры образца в опытах, связанное с резким увеличением давления. Цифровые значения в работе не приведены.

П. М. Чукуров

X. 1977/15

21

1975

Bastide J. P.

(D)

Conf. Int Thermodyn Chim,
4th 1975, 9, 90-7 (Fr)

(aule; I)

1975

II

Herring R.

P

J. Appl. Phys. 1975, 46(6),
2548-58

ΔMv

S
Cp

Cee Li '71

$V(c)$

OST. 4824

1975

Kerr J. A., et al.

Handbook Chem. Phys.,
55 th Ed., 1974-75.

(ΔH_f)

1975

ii

1 E641. Аномалии тепловых свойств урана при низких температурах. Sandenaw Thomas A. Anomalous thermal property behaviour of uranium at low temperatures. «Plutonium 1975 and other Actinides. Proc. 5th Int. Conf., Baden Baden, 1975». Amsterdam e. a., 1976, 487—498. Discuss., 499 (англ.)

(C_p)

В интервале $T - 10 - 373^\circ K$ исследованы температурный ход теплоемкости C_p и температурный ход теплопроводности поликристаллических образцов ^{235}U и ^{238}U и влияние на эти характеристики чистоты и микроструктуры (различная микроструктура образцов создавалась за счет различных способов приготовления образцов, различной предварительной механико-термической обработки и радиационных повреждений, вызванных длительным самооблучением). Установлено, что температурная зависимость теплоемкости и теплопроводности в случае образца U высокой чистоты имеет сложный характер (для ^{235}U приблизительно частоты $C_p(T)$ — кривые вообще не-

Ф. 1948, № 15

воспроизводимы), позволяющий выделить 4 температурных интервала, в пределах которых действуют различные механизмы фазовых превращений: 1) ниже 36—43° К; 2) от 40 до 75—80° К; 3) от ~80 до 250—270° К; 4) от ~270 до 325—350° К. При этом механизм, преобладающий в одной области, оказывает влияние на измерение термич. свойств в более низкотемпературном интервале. Полученные данные позволяют предполагать, что при наличии определенного кол-ва примесей и дефектов структуры образованию низкотемпературного α -мартенсита (при т-рах ниже 270° К) предшествует образование ГЦК-структуры. Проведен расчет термодинамич. характеристик — энталпии и энтропии — для ^{235}U (различной чистоты) и ^{238}U в литом и обработанном состояниях. Библ. 30.

И. Д. Марчукова

сост:
чолт

$U_i(g)$

[45 STE]

1975

C_p^o
 $_{298}$

Steinhauer, D.W.,

Personal communication, Los Alamos
Scientific Laboratory, Los Alamos, N.M.,
1975, cited by Fuger J., Octetton F.Y.,
The chemical thermodynamics of
actinide elements and compounds:
Part 2. The actinides aqueous IONS

International Atomic Energy Agency, 1975, 65,

1975

3 Е974. Замечание о сверхпроводимости урана при высоком давлении. Wittig J. Note on the superconductivity of uranium at high pressure. «Z. Phys.», 1975, B22, № 2, 139—142 (англ.)

Обсуждаются полученные Смитом и Фишером (РЖФиз, 1974, 3Е1732) эксперим. данные по зависимости т-ры сверхпроводящего перехода U от давления. Предполагается, что аномалии на кривой $T_c(P)$ обусловлены наличием четырех орторомбич. модификаций α , α_1 , α_2 , α_3 и возрастанием электрон-фононного взаимодействия вблизи фазовых переходов за счет смягчения КВ-фононов. Построена вероятная фазовая диаграмма U при т-рах до 50°К и давл. до 24 кбар. Считается, что кривая равновесия фаз α и α_1 заканчивается в критич. точке примерно так же, как кривая равновесия фаз γ и α в Ce.

И. В. Берман

ф. 1976 №3

U(g)

tepuwz
sage

1976

Blaise A.

(Chukker)

$U(k, \mu)$
 ΔU_{repar}

1976

Mazchidov D.I., Ciopescu M.

1976. J. Chem. Thermodyn. 8, 691-701

$\Delta H^\circ_{\text{reflex}}$ $\text{L}^\circ \beta$ $\Delta H^\circ = 2,63 \pm 0,09 \text{ kJ mol}^{-1}$

$\beta \gamma f$ $\Delta H^\circ = 4,18 \pm 0,04 \text{ kJ mol}^{-1}$

$\Delta H^\circ_{\text{stabile}}$ $\Delta H^\circ = 4,03 \pm 0,09 \text{ kJ mol}^{-1}$

ВР - 1354 - XVIII

1976

1 Б725. Определение энталпии урана до 1500 К в калориметре смешения. Magchidjan D. I., Ciopres M. Enthalpy of uranium to 1500 K by drop calorimetry. «J. Chem. Thermodyn.», 1976, 8, № 7, 691—701 (англ.)

В массивном калориметре смешения с изотермич. оболочкой измерены энталпийные инкременты $\{H^\circ(T) - H^\circ(298,15 \text{ K})\}$ различных модификаций урана. Расчитаны энталпии фазовых переходов: $U_\alpha \rightarrow U_\beta$ $\Delta H = 2256 \pm 75$ дж/моль, $T = 940,5 \pm 2,0 \text{ K}$; $U_\beta \rightarrow U_\gamma$ $\Delta H = 4182 \pm 85$ дж/моль, $T = 1048 \pm 1,5 \text{ K}$; $U_\gamma \rightarrow U_{\text{IIg}}$ $\Delta H = 6979 \pm 120$ дж/моль; $T = 1405 \pm 2,0 \text{ K}$. Термодинамич. ф-ции урана табулированы в интервале 300—1500 К с шагом 50°.

З. Л. Лещинская

дН_T,
 $H_T^\circ - H_{298}^\circ$,
маг. оп.

х 1977 № 1

$U(k, n)$

1946

H-His3

Marchidian S.I., Ciopec M.

1976, p. Chem Thermodyn 8, 691

H-H⁰₂₅₈ at 300 to 1500 K

U(g)

[76 OET/RAN]

1976

S°
258

Cp°
258

Oetting, F.-J., Rand M.H., Ackermann R.J.

"The chemical thermodynamics of
actinide elements and compounds:
Part 1. The actinide elements"

International Atomic Energy Agency,
Vienna (1976), 111 pp.

U(g)
system

1976.

Detting F.L, Rand M.H,
Ackermann R.F.

1976. The Chemical Thermodynamics
of Actinide Elements and Compounds
Part I. The actinide Elements

IAEA.

1976

Ull
Ohse R.W., et al.

From SN8 Atomindex

1976, EN24,

-A6str. No 278368.

(P)



(cu. UD₂; I)

²³⁵U

1976

²³⁸U

85: 69173f Anomalous thermal property behavior of uranium at low temperatures. Sandenaw, Thomas A. (Los Alamos Sci. Lab., Univ. California, Los Alamos, Calif.). *Plutonium 1975 Other Actinides, Proc. Int. Conf., 5th 1975* (Pub. 1976), 487-99 (Eng). Edited by Blank, Hubert, Lindner, Roland. North-Holland: Amsterdam, Neth. Low temp. heat capacity curves are presented for polycryst. ²³⁵U and ²³⁸U in different microstructural states and of different purities. Thermal cond. vs. temp. curves are given for ²³⁸U. The anomalies in the thermal properties and their causes are discussed. The purity, microstructure, and processing of the metal have effect on the thermal properties.

(c_p)

C.A. 1976. 85 N10

1976

U (nc)

Thayer W. L.,
et al.

H-H; CP

"Proc. 5th Int. Conf.
Baden 1975" Amsterdam
1976, 85-93.



(See. Pu; i)

U

Pee

1976

H85: 130661g A model for liquid uranium and plutonium with implications on the adjacent solid phases. Wittenberg, Layton J. (Mound Lab., Monsanto Res. Corp., Miamisburg, Ohio). Plutonium 1975 Other Actinides, Proc. Int. Conf., 5th 1975 (Pub: 1976), 71-84 (Eng). Edited by Blank, Hubert; Lindner, Roland. North-Holland: Amsterdam, Neth. The hard-sphere model for liq. metals, which is used to analyze the phys. properties of liq. U and Pu, predicted successfully only the compressibility of liq. Pu while it underestd: the measured viscosity and surface tension values. Based upon a correlation with the rare earth elements, the heat capacities of liq. U and Pu

Cp, AH₂/ were smaller and their heats of vaporization were larger than predicted. All these deviations suggest addnl. attractive energy in these two liqs. Diffusion and positron annihilation expts. suggest the appearance of liq.-like clusters in the bcc phases that exist in equil. with these liqs. The elastic modulus of Pu without these clusters was calcd. to be approx. five times larger than the measured modulus.

(+)

[]

C.A. 1976

85 n 18

W(me)

Dinneron 6594

1977

Shaner G.W., Baethers

(Hm, 45in) G.R., Hodgson W.H.

Preprint UERL-78782

17th Sympos. Theracopterys.
preprint. May 10-12, 1977
Baithersberg)

1977

Mennadob

(U)

(H_T - H₀)

90: 157996k Thermophysical and transport properties of metals at high pressure and very high temperature. Shaner, J. W.; Gathers, G. R. (Lawrence Livermore Lab., Univ. California, Livermore, Calif.). *High-Pressure Sci. Technol.*, AIRAPT Conf., 6th 1977 (Pub. 1979). 2, 847-53 (Eng). Edited by Timmerhaus, Klaus D.; Barber, M. S. Plenum: New York, N. Y. Exptl. techniques are described, developed for measurements of enthalpies (to $\pm 3\%$), sp. vols. ($\pm 2\%$), temp. ($\pm 5\%$), and elec. resistivities ($\pm 3\%$) of metals at high pressures and very high temps. (>5000 K). A graph of enthalpy vs. temp. data is given for U at 0.2 GPa.

C.A. 1979, 90, 1120

U, U^+

1977

ΔH_f

Омск УБТАИ, май 18
Радиоактивные соединения в
металлургическом производстве
 ^{60}Fe и ^{64}Fe

Онк. институт Б. Л.
Докторская Д. В.

1944

U

Bauer et al
v. I, p 470

298 - 1405 (C)
1405 - 4404 (Gr)
4404 - 5000 (I)

1977

U

Cox J. D.

CODATA Bull. 1977, 22,
6 pp. (Aug)

SH_f; S^o,
H-H



all F - T

11(2)

1977

Cox J.D.

Каталог
белых
м.г. сб-8

CODATA, Spec. Rep.
1977, 4, 3 pp.

(см. §; I)

1974

$U_{(c)}$

Case J. D.

J. Chem. Thermodyn., 1974,
9(8), 105-6 (Eng.)

$\Delta H, 8^{\circ}$
 $H_{298} - H_0^{\circ}$

cell. $SO_4^{2-} - \bar{I}$

ll

оиницес 4419 1977

(AHF)

Туркестан, Ахангаран
р. С., Дародзелье о.Б.
н.гп.

препарату 1-0018

Мезозойская система
северного • II - F зонование

1977

U

Shaner J. W. et al.

(H-H)

Avail NTIS From
Energy Res. Abstr. 1977,
2 (24), Abstr No ...?

Cell. P - I

$\alpha - \beta$

1977

10 E528. Аномалии теплоемкости поликристаллического α -урана при низких температурах. Hall R. O. A., Mortimer M. J. Low-temperature specific heat anomalies in polycrystalline α -uranium. «J. Low Temp. Phys.», 1977, 27, № 1—2, 313—316 (англ.)

В интервале т-р 4,2—80° К исследована теплоемкость поликристаллич. α -урана. Кроме аномалии, связанной с переходом второго рода вблизи 43° К, найдена небольшая аномалия теплоемкости вблизи 22° К. Отмечено отсутствие наблюдавшейся ранее на монокристалле аномалии вблизи 37° К, что связано с большей чистотой поликристалла.

В. Е. Зиновьев

Ф. 1977 № 10

d-II

1974

20 Б902. Аномалии низкотемпературной теплоемкости в поликристаллическом α -уране. Hall R. O. A.,

Mortimer M. J. Low-temperature specific heat anomalies in polycrystalline α -uranium. «J. Low Temp. Phys.», 1977, 27, № 1—2, 313—316 (англ.)

Ср; Ттг
В адиабатич. калориметре в интервале 4,2—80 К измерена теплоемкость поликрист. образца α -урана, содержащего <0,01% металлич. примесей. Представленная графически т-рия зависимость C_p показала две аномалии, отвечающие фазовому переходу 2-го рода при 43 К и 1-го рода при 22 К. Высокот-рия аномалия ранее наблюдалась как на моно-, так и на поликрист. образцах. Найденное значение $\Delta C_p = 1,1$ дж/моль·град на 30% ниже соотв-щего значения для монокристалла.

X. 1974 N 21

Аномалии при 22 К ранее наблюдалась лишь на монокристалле. Избыточное значение $\Delta C_p \approx 0,13$ дж/моль·г/рад для поликрист. образца в 3 раза меньше, чем для монокристаллического. На поликрист. образце не установлено аномалии, отвечающей фазовому переходу 1-го рода при 37 К, зафиксированному на монокристалле с величиной ΔC_p в 4,6 раз большей, чем при 22 К. В кач-ве возможной причины расхождений указано большее наличие примесей в монокрист. образце, при выращивании к-рого вводились силиконовые затравки.

А. Кисилевский

$\Delta - U_{kp} (C_p, T_{cr})$

1977

S6: 178483y Low-temperature specific heat anomalies in polycrystalline α -uranium. Hall, R. O. A.; Mortimer, M. J. (Chem. Div., AERE, Harwell/Didcot/Oxon., Engl.). *J. Low Temp. Phys.* 1977, 27(1-2), 313-16 (Eng). The specific heat of polycryst. α -U was measured between 4.2 and 80 K. In addn. to the 2nd-order transition at 43 K, always seen in both polycryst. and single-crystal U, a small effect was obsd. at 22 K. This had previously been seen only in single crystals. The larger, 1st-order change seen at 37 K in single-crystal U was not obsd. The possible explanations for this difference are discussed.

C.A. 1977 86 N 24

W

Yucca cernua, very

1978

Hall R.O.A., Lee J.A., et al.

ep (7-20K) BXIII, 1978, 21, exp. 3.06.

67.3425 1978

B-ll

) 11 Б773. Теплоемкость при низких температурах псевдомонокристалла и поликристаллического α -урана. Hall R. O. A. The low-temperature specific heat of pseudo-single-crystal and polycrystalline α -uranium. «Rare Earths and Actinides, 1977. Int. Conf., Durham, 1977.» Bristol—London, 1978, 60—65 (англ.)

Измерена теплоемкость C_p двух образцов псевдомонокрист. β -U в области 10—300 К. Образцы имели крупнозернистую структуру с размером зерна 3—4 мм, ориентированных относительно друг друга с небольшими искажениями. Подтверждены ранее обнаруженные превращения 1-го года при 23 и 37 К и фазовой переход второго рода при 40 К, с энталпиями 1,53, 2,15 и 8,18 дж/моль, соотв. Дуговая плавка привела к уменьшению размера зерна и более беспорядочной ориентировке зерен. Быстрое охлаждение расплава привело к высокой конц-ии вакансий и внутренним напряжениям. На кривой C_p плавленого α -U отсутствовали аномалии при 23 и 37 К, а аномалия при 40 К выражена незначительно. Данные по C_p плавленого образца были использованы для выделения энергетич. вкладов, связанных с фазовыми переходами. Л. А. Резницкий

м. 37125-

(C_p)

2.1949, N11

Л. А. Резницкий
B-ll

d-ll1spccr.

Om 37125

1978

(C_p)

89: 81078u The low-temperature specific heat of pseudo-single crystal and polycrystalline α -uranium. Hall, R. O. A. (Chem. Div., AERE, Harwell/Didcot/Oxon, Engl.). Conf. Ser. - Inst. Phys. 1978, 37(Rare Earths Actinides, 1977), 60-5 (Eng). Sp.-heat measurements were made at 100-300 K in an adiabatic cryostat on 2 samples of pseudo-single crystals of α -U. Both samples show 1st-order transitions at 23 and 37, and a 2nd-order transition at 40 K. One sample was remeasured after heat treatment which produced a fine, randomly oriented grain structure; the data showed modified transitions. After more drastic heat treatment, further refining and randomizing the grain structure, there was no sign of either of the 1st-order transitions. A comparison between the sp. heat data for the pseudo-single crystal and the heat-treated sample permits a detn. of the latent heats of the various transitions.

gyfNIKAM
3 XOFMHO

C.A.1978,89,110

4

1988

Hodgson W.M.

ургиче
состоян.

Energy Res. Abstr., 1988,
3(24), n 57194.



(рис. 16; I)

U(ov)

C^o
Gp 258

[78 ROB/HEM]

1978

Robie, R.-A., Hemingway B. S., Fisher Jr.,
Thermodynamic properties of minerals
and related substances at 238,15 K
and 1 bar pressure and at higher
temperatures, U.S. Geological Survey
Bulletin, 1452 (1978), 456 p

ll(c) Yuzuki et al., 1978 1978

Takahashi Y., Nakamura y.

BRM, 1978, 21, esp. 306.

cp(80-1000K)

1970

2-U

Pm

Am

(C_P)

90: 193325z Specific heats of actinide metals. Mortimer, M. J. (Chem. Div., AERE, Harwell/Didcot/Oxon., Engl.). *J. Phys., Colloq. (Orsay, Fr.)* 1979, (4), 124-9 (Eng). A review with 41 refs. After a brief discussion of the methods of derivation of the sp. heat parameters, the electronic sp. heat, and the Debye temp., an anal. is given of the trends in these, and in the measured sp. heats across the actinide series. The unexpected values obtained for Pa are considered, with ref. to the elec. resistivity. The importance of the expansion coeff., both in the derivation of the sp. heat parameters, and in any explanation of the electronic origins of their behavior is discussed. Finally, the anomalies obsd. in α -U, Pu, and Am are compared.

(72) D



C.A. 1949, GO N 24

1979

d-ll

№ 4 Е740. Наблюдение сверхструктуры в α -U вблизи 43° К. Observation of superstructure in α -U near 43° K. Smith H. G., Wakabayashi N., Crummett W. P., Nicklow R. M., Lander G. H., Fisher E. S. «Modulated Struct. Int. Conf., Kailua Kona, Haw., 1979». New York, 1979, 226—228 (англ.)

Методом упругого и неупругого рассеяния нейтронов исследованы структурные изменения в α -U при низких т-рах и характер изменения упругих констант. С понижением т-ры наблюдалось значительное смягчение решетки относительно продольных оптич. мод колебаний Σ_4 . При т-ре 60° К. возникал максимум упругого рассеяния в положении $(h+1/2, k, l)$. Интенсивность этого максимума с понижением т-ры возрастала и достигала наивысшего значения при $10,4^\circ$ К — минимальной т-ре исследования. Делается вывод, что при низких т-рах в U существуют 2 фазы: α -фаза и слегка искаженная α' -фаза с синусоидальной модуляцией в направлении оси x .

М. П. Усиков

Tr

сф. 1980 № 4

1980

U

94:146003r Study of uranium vapor pressure over uranium monosulfide and carbosulfides. Koktev, V. V.; Evstyukhin, A. I.; Khromonozhkin, V. V.; Andrievskii, R. A. (USSR). *Metallurgiya i Metalloved. Chist. Met.*, (Moskva) 1980, (14), 73-7 (Russ). From Ref. Zh., Khim. 1981, Abstr. No. 2BS07. Title only translated.

(P)

Haz(US)
(UCS)

6.2.1981 24/112

1980

α -U

15 Б984. Низкотемпературный фазовый переход в альфа-уране: пересмотр старой проблемы. Landet G. H., Smith H. G., Wakabayashi N. The low-temperature phase transition in alpha-uranium: an old problem revisited. «J. Nucl. Mater.», 1980, 95, № 3, 307—310 (англ.)

Tt γ

Обзор пред. лит. эксперим. результатов по изучению св-в низкотр-ной ($T < 662^\circ$) а-фазы U. Эксперименты по определению т-рных зависимостей упругих констант c_{11} , c_{22} и c_{32} монокристаллов U обнаружили аномалии вблизи 43К. Однако измерения параметров решетки, уд. теплоемкости, коэф. термич. расширения и магнитной восприимчивости не показали никаких аномалий в этом районе. Измерения при гидростатич. давл. до 10 кбар обнаружили увеличение т-ры перехода в сверхпроводящее состояние от 0,1 до 2 К и уменьшение т-ры, при к-рой наблюдалась аномалия c_{11} , при возрастании давл. Для подтверждения существования фазового перехода

Х. 1981. 11/5

$\alpha - \alpha'$ гдáви проводились измерения упругих кон-
стант современным чувствительным методом неупругого
рассеяния тепловых нейтронов. Измерения фононного
спектра α -U этим методом позволили обнаружить не-
большое искажение решетки (смещение атомов в
направлении [100] порядка $0,006\text{\AA}$). Предположено, что
искажение является электронным по своей природе,
т. е. наблюдается перераспределение плотности зарядов
и изменение электронной конфигурации при уменьшении
энергии решетки вследствие охлаждения кристалла.

В. А. Стуников

1980

$\alpha-U$

6 E717. Низкотемпературный фазовый переход в α -уране: пересмотр старой проблемы. The low-temperature phase transition in alpha-uranium: an old problem revisited. Lander G. H., Smith H. G., Wakabayashi N; «J. Nucl. Mater.», 1980, 95, № 3, 307—310 (англ.)

Рассматривается фононный спектр $\alpha-U$ для волн. векторов $q \parallel [100]$ вблизи перехода из α - в α' -фазу при $T_c = 43^\circ\text{K}$. Мода Σ_4 имеет V-образную особенность, ее частота уменьшается при понижении темп. В низкотемпературной α' -фазе смещения атомов из их поло-

T_{tr}

Ф.1981.№6

жений равновесия в высокотемпературной фазе составляют $\sim 0,006$ Å в направлении [100], а интенсивность соответствующих пиков отражения равна 10^{-4} — 10^{-5} от величины нормального брэгговского пика. Приводится схема статич. смещений атомов в α' -фазе. Небольшое периодич. искажение кристаллич. решетки урана в α' -фазе имеет, по-видимому, электронное происхождение и обусловлено волной зарядовой плотности. Отмечается, что в картине перехода $\alpha \rightarrow \alpha'$ недостает многих деталей, которые должны быть выяснены экспериментально, в частности, путем изучения влияния давления на свойства перехода.

И. О. Майер

XVIII-7249

1980

ll

(Tr)

92: 156089w Investigation of vacancy formation and phase transformations in uranium by positron annihilation. Matter, H.; Winter, J.; Triftshaeuser, W. (Hochsch. Bundeswehr Muenchen, D-8014 Neubiberg, Fed. Rep. Ger.), *J. Nucl. Mater.* 1980, 88(2-3), 273-8 (Eng). The phase transitions and vacancy-formation energies in U were detd. at 550-1350 K by positron annihilation. Discontinuities in the angular distributions clearly reflected the $\alpha\text{-}\beta$ and $\beta\text{-}\gamma$ transitions. The vacancy-formation energy in $\gamma\text{-U}$ is ≥ 1 eV.

C.A. 1980, 22, 118

XVIII - 7249

1980

W
15 Б981. Исследование образования вакансии и фазовых превращений в уране методом аннигиляции позитронов. Matter H., Winter J., Grifthsäuser W. Investigation of vacancy formation and phase transformation in uranium by positron annihilation. «J. Nucl. Mater.», 1980, № 2—3, 273—278 (англ.)

(\bar{Tr})
При т-рах 550—1350 К методом аннигиляции позитронов изучены $\alpha \rightarrow \beta$ - и $\beta \rightarrow \gamma$ -фазовые переходы в уране. В процессе эксперимента измеряли т-рную зависимость скорости счета совпадений при пике кривой угловой корреляции. Обнаружено, что фазовые переходы отражаются разрывами на графиках соотв-щих зависимостей. Наклон кривой в низкот-рной области, изменение при $\alpha \leftrightarrow \beta$ -превращении (941 K) и начальный наклон в β -фазе удалось адекватно описать на основе линейного термич. расширения. Разрыв при 1048 K вызван главным образом вакансационным эффектом захвата. Обработка данных для γ -фазы на основе модели захвата позволила оценить нижний уровень энергии

образования моновакансии E_{1v}^F . Показано, что эти результаты приводят к очень низкому значению энергии миграции вакансии E_{1v}^M .

X/1980 n 15

U (78)

Th (78)

(C_p)

(+/-)

Δ

октябрь 9092

1980

5 E370. Теплоемкость металлических урана и тория от 80 до 1000° K. Heat capacity of metallic uranium and thorium from 80 to 1000° K. Nakatoga Jin-ichi, Takahashi Yoichi, Izumi Shin-ichiro, Канпо Masayoshi. «J. Nucl. Mater.», 1980, 88, № 1, 64—72 (англ.)

Измерения проведены методом импульсного лазерного нагрева; для устранения отражения поверхности образцов были покрыты слоем графита. Результаты измерений для U хорошо согласуются с литературными данными, для Th — значительно отличаются. Составлены таблицы термодинамич. ф-ций. Проведен расчет изохорной теплоемкости, определены т-ры Дебая ($\theta = 180$ для U и 156° K для Th) и сумма электронного и ангармонич. вкладов. Выше 300° K у U найдена значительная «избыточная» теплоемкость. Библ. 35. Л. П. Ф.

Ф 1980 № 5

$U(k, m)$

Theorem

1980

Nakamura Y., Takahashi Y,
Izumi S, Kanno M.
1980, J. Nucl. Mat. 85, 64.

Trieste $\Delta\beta T = 341 K$.

U

Th

(CP)

on mmeu 9092

1980

V92: 83521u Heat capacity of metallic uranium and thorium from 80 to 1000 K. Nakamura, Jinichi; Takahashi, Yoichi; Izumi, Shinichiro; Kanno, Masayoshi (Dep. Nucl. Eng., Univ. Tokyo, Tokyo, Japan). *J. Nucl. Mater.* 1980, 88(1), 64-72 (Eng). The heat capacities of metallic U and Th at 80-1000 K were detd. by laser-flash calorimetry. The results on U agree well with those in the literature. The results on Th are several percent lower than the heat-capacity values reported, while the enthalpy data at high temp. in the literature are in good agreement with the present results. A revised table of thermodyn. functions of Th (80-1000 K) is presented. The excess heat capacity on Th is not appreciable < 1000 K, in contrast with the large excess heat capacity > 300 K for U.

(+1)



CA 1980 92 n10

$U(K, u)$

9092

1980

4p

Nakamura T., Takahashi Y.

Izumi S., Kahn M.

1980, p Nucl. Mat. 85, 64

q_0 at 82K go 990R.

W₍₂₎ Lj. Negbegele | 1980

Parker V.B.

The Thermodynamic Properties
of the Uranium-Halogen
Containing Compounds.

ΔH_f,
H₂₉₈-H₀

NBSIR-80-2029

NBS, USA July 1980

U

(OM-25599)

1980

Ward J.W., Kleinschmidt
P.D. et al.,

5298, P (Los Alamos Sci. Lab., Los
Alamos, NM 87545 USA)
ACS Symp. Ser. 1980, 131

(Lanthanide
Chem. Spectrosc.), 199-220



Actinide

Lommel 12761

1981

U Yonés C., Nguyen L.D.,
Pattoret A.,

A.P.

m. gris.
cb. ba

High Temp. - High Press.,
1981, 13, 105-111.

1981

U

$\Delta_f H, C_p$

95: 87177w Selected values of chemical thermodynamic properties. Wagman, D. D.; Evans, W. H.; Parker, V. B.; Schumm, R. H.; Nuttall, R. L. (Cent. Thermodyn. Mol. Sci., Natl. Bur. Stand., Washington, DC 20234 USA). NBS Tech. Note (U. S.) 1981, 270-8, 149 pp. (Eng). The recommended values for the std. heats of formation, free energies, enthalpies, entropies and heat capacities of U, Pr, Th, Ac, Li, Na, K, Rb, Cs, and Fr, atoms, ions, and compds. are tabulated.

tg

C.A.1981, 95, v10

U(x, u)

1982

Pan Kratz L.B.

Thermodynamic Properties

298-3500 of Elements and Oxides

USA Bur. Mines Bull. 672.

(Yellegbegeho)

1982

1 E1240. Мартенситный переход в металлическом
уране и его влияние на сверхпроводимость. The martensitic transformation in uranium metal and its effect on superconductivity. Sandenaw T. A. «Scr. met.», 1982, 16, № 8, 1005—1008 (англ.)

Рассматривается влияние мартенситного перехода из α - в α' -фазу в уране на сверхпроводящий переход. Предполагается, что T_c урана зависит от степени завершения мартенситного перехода таким же образом, как и в соединениях типа А-15. Считается, что влияние примесей на фазовую устойчивость и мартенситный переход можно объяснить, комбинируя три теории: теорию степени локализации валентных электронов, развитую Осси и Росито (Ossi P. M. et al. «J. Phys. F», 1981, 11, 2037), обобщенную Мак-Милланом (McMillan W. L. «Phys. Rev. B», 1975, 12, 1187) на волны зарядовой плотности, теорию Ландау и доменную теорию Ройтбурда (Roitburd A. L. «Phys. stat. sol. (a)», 1973, 16, 329). Сделано также предположение, что в предмартенситной области т-р в α -фазе может существовать больше чем одно несоизмеримое состояние волн.

Тет

Ф. 1983, 18, N1

зарядовой плотности, а величина T_c зависит от того, является ли структура соизмеримой или нет при сверхпроводящем переходе. Показано, что влияющие на величину T_c факторы могут быть ответственны и за аномальные тепловые свойства урана. Е. Ш

1982

U 1 E1233. Причины непостоянства сверхпроводящей температуры перехода в металлическом уране. Causes for the variable superconducting transition temperature in uranium metal. Sandenaw T. A. «Solid State Commun.», 1982, 43, № 5, 361—364 (англ.)

По измерениям различных авторов т-ра сверхпроводящего перехода T_c α -U покрывает интервал от $T_c \leq 0,1$ до 1.3 К при атмосферном давлении. Это непостоянство T_c связано с существованием мартенситного превращения α -U \rightarrow α' -U (с пространственной группой D_{2h}^{13}) в интервале т-р между ~250 и ~42 К. Этот переход, как правило, является неполным, что приводит к локальным структурным флюктуациям и фазовой нестабильности. Предполагается, что стадия, на которой заканчивается переход α -U \rightarrow α' -U, влияет на T_c через посредство искажения решетки и возникновения (соизмеримых и несоизмеримых) волн плотности заряда. Предполагается, что факторы, влияющие на величину T_c в α -U, также ответственны за аномальные тепловые свойства этого металла.

А. И. Русинов

T_c

9.1983, 18, N1

U(II)

[83 FUG]

1983

Fuger, J.

"Chemical thermodynamic properties
- selected values, in: Gmelin
HandBook of inorganic chemistry,
8th ed., Uranium, Supp. Vol. A6, Berlin:
Springer-Verlag, 1983, pp. 165-192.

U(?)

[Om. 24347]

~84

Bieniewski T.B.,

Los Alamos Conference
on Optics '83, 419-426

4/298;

II(2)

(Om. 24348)

~1984

Bieniewski T.M.,

Los Alamos Conference
on Optics' 83, 330-335

D_{eff}, P;

ll (u)

1984

2 Б3081. Давление паров жидкого урана выше 1873 К. Vapour pressure of liquid uranium above 1873 K. Chandrasekharaih M. S., Dharwadkar S. R., Das D. «IUPAC Conf. Chem. Thermodyn. and 39 th Calorimetry Conf. Joint Meet., Hamilton, Aug. 13—17, 1984. Program and Abstr.» S. I., s. a., 168—169 (англ.)

Эффузионным методом Кнудсена измерено давл. паров жидк. урана в интервале т-р 1873—2773 К. Уран помещали в тигли из монокрист. Та или W. Пары собирали на хол. Pt-мишень; кол-во урана определяли по α -счету или спектрофотометрич. методом. Результаты обсуждаются.

По резюме

X. 1986, 19, № 2

1984

101: 137469h A theoretical equation of state for uranium.
Penicaud, M. (Cent. Etud. Limeil, Commis. Energ. At., 94190
Villeneuve-Saint-Georges, Fr.). *Shock Waves Condens. Matter,*
Proc. Am. Phys. Soc. Top. Conf. 1983 (Pub. 1984), 61-4 (Eng).
Edited by Asay, J. R.; Graham, Robert Albert; Straub, G. K.
North-Holland: Amsterdam, Neth. A fully relativistic generalization
of the self-consistent muffin-tin-orbital (MTO) method was used to
obtain the electronic properties of U at ≤ 5 Mbar. The 6s and $6p_{1/2}$,
 $6p_{3/2}$ states are treated as bands rather than core states which is
found necessary. The derived equation of state agrees well with
shock Hugoniot data.

YB-116 COCM;
mcopenner.
pacem

c.A.1984, 101, n16

d-U

[Om. 19014]

1984

Tindall D.A., Steinitz
M.O.,

grav.

repeas.

J. Phys. F: Metal.
Phys., 1984, 14, N5,
1131 - ● 1136.

И(К)

[Om. 22627]

1985

6 Б3039. Оптическая непрозрачность как инструмент для исследования высокотемпературных равновесий. Давление пара урана. Optical opacities as a tool for studying high temperature equilibria vapor pressure of uranium. Bieniewski T. M. «High Temp. Sci.», 1985, 19, № 3, 323—328 (англ.)

В высокотрнной вольфрамовой ячейке, в к-рую помешали металлич. уран и заполняли аргоном при давл. 1 атм, в интервале 2133—2413 К измерено интегральное поглощение света парами урана в диапазоне 335—360 нм. Для зависимости давл. от т-ры получено ур-ние $\ln P(\text{атм.}) = 13,222 (\pm 0,062) - (58489 \pm 141)/T$. Для ΔH_{298}^0 сублимации рекомендована величина $126,8 \pm 0,6$ ккал/моль.

В. В. Чепик

Р:

Om 24377

X. / 986, 19, N6

U(2)

011-22776, on 24377 1985

102: 155209y Thermodynamics of liquid uranium vaporization.
Das, D.; Dharwadkar, S. R.; Chandrasekharaiyah, M. S. (Water
Chem. Div., Bhabha At. Res. Cent., Bombay, 400 085 India). J.
Nucl. Mater. 1985, 130, 217-24 (Eng). The vaporization of liq. U
contained in single crystal cups of Ta and W was studied up to 3000
K by using Knudsen effusion assembly. The flux of U(g) vapors
effusing through the K-cell orifice was cor. for the solv. of Ta (or W)
in liq. U and the equil. vapor pressure of liq. U was detd. The
sublimation enthalpy of U at 298.15 K was evaluated to be $126.3 \pm$
 0.3 kcal/mol.

P, D₃H₂₉₈;

C. A. 1985, 102, N18.

21(g)
05208

1985

Das D., Dhawadkar S-R,
Chandrasekharaih M-S.
1985, ♀ Nud. Mater 130, 217-2

Физический предел $\delta_{\text{sub}} \text{K}^0(288,15\text{K})$

Данного нет

ll

1985

24 Б3224. Время жизни позитронов и доплеровское уширение при исследовании образования вакансий и фазового перехода в уране. Positron lifetime and Doppler-broadening studies of vacancy formation and phase transformation in uranium. Kögel G., Spregg P., Triftshäuser W., Rothman S. J. «J. Nucl. Mater.», 1985, 131, № 2—3, 148—157 (англ.)

Изучены времена жизни и доплеровское уширение спектра аннигиляц. излучения позитронов в высокочистом уране при т-рах 290—1400 К. В спектрах γ -U разрешены 2 компонента при всех т-рах. Установлено, что значения компонент полученных спектров и форма аннигиляц. линии существенно изменяются в зависимости от крист. структуры и т-ры. Определено, что ловушки на вакансиях наблюдаются только в γ -U. Уменьшение времени жизни позитронов с ростом т-ры согласуется с теорет. предсказаниями. Особенности параметра аннигиляции I_v , и т в β -фазе связаны с корреляц. эффектом. Показано, что суммарная скорость захвата k крайне

фазовый
переход

Х. 1985, 19, N 24

низка. В обл. γ -фазы $k(T)$ увеличивается в 2 раза и проявляет 2 различные тенденции, что указывает на влияние $\beta \rightarrow \gamma$ -перехода в обл. 1050—1200 К. Параметры образования вакансий H_{IV} , S_{IV} и вероятность захвата позитронов на вакансиях значительно зависит от т-ры. При этом вероятность захвата в обл. 1050—1150 К повышается и далее остается почти неизменной до т. пл. На этом основании изменение параметров в окрестности перехода $\beta \rightarrow \gamma$ объяснено т-рной зависимостью релаксации вакансий. Полученное среднее значение энталпии образования H_{IV} в γ -фазе составляет 0,3 эВ.

В. Ф. Пономарев

1986

α -U

6 E803. Модулированные фазы α -урана. Теоретический анализ. Modulated phases of α -uranium. Theoretical considerations. Walker M. B. «Phys. Rev. B: Condens. Matter», 1986, 34, № 10, 6830—6838 (англ.)

Данные нейтронографич. исследований свидетельствуют о наличии нескольких структурных фазовых переходов в α -U в области т-р 20—50 К, сопровождающихся возникновением несоразмерных структур. Предлагается теоретич. описание этих явлений на основе теории фазовых переходов Ландау. При использовании теории групп выведены системы атомных смещений, приводящие к сверхструктурным рефлексам типа ($\frac{1}{2}$, β , γ). Функционал свободной энергии записывается с учетом членов 4-го порядка. Показано, что первый переход при 43 К происходит в структуру, несоразмерную вдоль оси a и перпендикулярно к ней. Переход при 37 К стабилизирует фазу, несоразмерную только вдоль a -оси, а переход при 23 К дает полностью соразмерную фазу.

А. Б.

оф 1987, 18, №.

2012 Дубл. Каюмова!

1986

d - u

106: 26051z Modulated phases of α -uranium: theoretical considerations. Walker, M. B. (Scarborough Coll., Univ. Toronto, ON Can. M5S 1A7). *Phys. Rev. B: Condens. Matter* 1986, 34(10), 6830-8 (Eng). The modulated phases of α -U consistent with a Landau-type theory are described and analyzed in terms of their superspace symmetry. It is suggested that the phase transition at 43 K is to a phase which is incommensurate both parallel and perpendicular to the a axis, that the phase transition at 37 K is to a phase which is commensurate along the a axis but incommensurate in a perpendicular direction, and that the transition at 23 K is to a purely commensurate phase.

(T_{tr})

C.A. 1987, 106, N.Y.

1-11

1987

, 108: 83204s Evidence for lattice softening in α -uranium from specific-heat measurements under pressure. Vahldiek, Frei Eichler, Andreas (Inst. Tech. Phys., TU Braunschweig, D-3300 Braunschweig, Fed. Rep. Ger.). *Jpn. J. Appl. Phys., Part 1* 1987, 26(Suppl. 26-3, Proc. Int. Conf. Low Temp. Phys., 18th, 1987, Pt. 2) 1255-6 (Eng). The low-temp. α -phase of U is known to exhibit a peculiar variation of the superconducting transition temp. with pressure, rising from values below about 0.1 K to a max. near 2 K at 11 kbar and decreasing again to higher pressures. From sp. heat measurements under high pressure it was found that the initial increase in T_c is accompanied by a distinct decrease of the Debye temp. This behavior is discussed, also in comparison to La to which it shows some similarities.

(Cp)

C.A. 1988, 108, N10.

1988

$\beta - II$

20 Б2028. Структура β -урана. Structure of β -uranium. Lawson A. C., Olsen C. E., Richardson J. W., Mueller M. H., Lander G. H. «Acta crystallogr.», 1988, B44, № 2, 89—96 (англ.)

Проведено нейtronографич. исследование (метод Ритвельда) структуры β -U (I), устойчивой при т-ре 935—1045 К. Кристаллы Γ тетрагон., a 10,7588, c 5,6531 (т-ра 955 К) и a 10,7766, c 5,6531 Å (т-ра 1030 К), подтверждена ф. гр. $P4_2/ncm$. При обработке исходной нейtronограммы диффузные пики кварцевого контейнера устраивались Фурье-фильтрацией. Изотропные коэф. тепловых колебаний атомов в I в β -фазе значительно больше, чем в низкот-рной α -фазе. В структуре I выделены плоские слои атомов U в плоскости (001) с псевдогексагон. симметрией (упаковка близка к плотнейшей) и цепочки вдоль оси c . Обсуждены величины межатомных расстояний и корректность выбора ф. гр. для I.

С. С. Мешалкин

X. 1988, 19, № 20

$$U_{(21)} \quad [88 \text{ MUL/SHE}] \quad \boxed{1988} \quad C_p(u_{21}) = \cancel{5025} \text{ J.K^{-1}.mol^{-1}}$$

C_p

J. Nucl. Mater., 1988, v. 154, p. 268 - 275

Correction to the uranium equation

of state. $C_p = 47.0 \text{ K} \cdot \text{K}^{-1} \cdot \text{mol}^{-1}$

(Маргуд, Шелдон)

δU
(κ)

Mulford R.N.R., Sheldon R.I.,

1988

J. Nucl. Mater., 1988, 154, 268-275

Density and heat capacity of
liquid uranium at high temperatures.

$$C_p = 44.2 \times 10^{-3} \text{ J} \cdot \text{mol}^{-1} \text{ K}^{-1} (2632 - 5408 \text{ K})$$

Om. 297411

II (m)

Mar 29 1988

1988

109: 136147e Density and heat capacity of liquid uranium at high temperatures. Mulford, R. N. Jr.; Sheldon, R. I. (Los Alamos Natl. Lab., Los Alamos, NM 87545 USA). *J. Nucl. Mater.* 1988, 154(2-3), 268-75 (Eng). Measurements of vol. expansion, temp., resistivity and enthalpy were made for liq. U from 2632 to 5408 K by the isobaric expansion technique wherein a wire surrounded by inert gas is heated with a current pulse, and measurements are made quickly before the liq. column collapses. The heat capacity found for the liq. is 0.047 kJ/mol.K, and the vol. thermal expansion coeff. is 99×10^{-6} per K. It was also obsd. that the solid phase transitions occurred as equil. transitions at heating rates of approx. 130 million degrees per s.

$H_T - H_0, C_p$

$$C_p(m) = 47.7 / K \cdot mol (2632 - 5408 K)$$

at T = 2632 K to 5408 K

$$47.7 \text{ J} \cdot \text{K}^{-1} \cdot \text{mol}^{-1}$$

C. A. 1988, 109, N 16

ll

1988

110: 102812y The NEA thermochemical data base project.
Wanner, Hans (OECD Nucl. Energy Agency, 91191 Gif-sur-Yvette,
Fr.). *Radiochim. Acta* 1988, 44-45(Pt. 2), 325-9 (Eng). The
OECD Nuclear Energy Agency (NEA) has undertaken the development
of a CODATA-compatible chem. thermodn. data base for a no. of
elements of interest to various areas of nuclear technol., esp. to
radioactive waste management research areas such as the safety anal.
of nuclear waste repositories. The development of this data base
involves not only a compilation of all relevant published thermodn.
data, but also a detailed crit. anal. on key elements which will result,
for each element, in a Selected Data Set which will be recommended.
Thermodn. data base is given for U, Np, Am and Tc.

M. X. GARNIER
AKADEMIE NEM.
GARNIER U PARIS

(f3) ~~Np~~, Am, Tc

C.A.1989, 110, n/2

11

Оти. 32654

1989

3 E282. Теплоемкость урана при низких температурах. Воспоминание. Heat capacity of uranium metal at low temperatures. A reminiscence / Schachinber L., Lamprecht I. // Thermochim. acta.— 1989.— 151.— С. 203—217.— Англ.

Приводятся результаты измерения теплоемкости при постоянном давлении C_p урана, проведенные в 1943 и 1944 г. под руководством профессора К. Клюзиуса. Измерения производились в модифицированном вакуумном калориметре Нернста в интервале т-р от 17,2 до 263,8 К в 1000 температурных точках. Вычислена теплоемкость при постоянном объеме C_V . Путем вычитания электронной теплоемкости C_{el} определена решеточная часть теплоемкости и средняя т-ра Дебая, равная 216 К. Стандартная энтропия при 0° С равна 45,4 Дж·К⁻¹ моль⁻¹, C_p при 0° С равна 27,8 Дж·К⁻¹ моль⁻¹. Библ. 38.

В. Оскотский

ф. 1990, № 3

Это ещё Жуковки!

ll

1989

On 32 f54

112: 12694y Heat capacity of uranium metal at low temperatures. A reminiscence. Schachinger, L.; Lamprecht, I. (Inst. Strahlenbiol., GSF, D-8042 Neuherberg, Fed. Rep. Ger.). *Thermochim. Acta* 1989, 151, 203-17 (Eng). The heat capacity C_p of uranium at const. pressure was detd. between 17.2 and 263.8 K in 100 steps and cor. to the heat capacity at const. vol. C_v . By taking into account the contribution C_e by free electrons C'_e values could be calcd. rendering a mean Debye temp. of 216. The std. entropy at 0° was detd. to 45.4 J/K. mol; the C_p value to 27.8 J/K. mol.

(P)

C.A. 1990, 112, N2

II

Он, 32654

1989

6 Б3022. Термоемкость металлического урана при низких температурах. Реминисценция. Heat capacity of uranium metal at low temperatures. A reminiscence: [Pap.] 8th Conf. Dev. Calorimetry 1989, Ulm, 13—14 March, 1989 / Schachinger L., Lamprecht I. // Thermochim. acta.— 1989.— 151.— С. 203—217.— Англ.

Приведены и обсуждены до сих пор непубликовавшиеся сведения о калориметрич. исследованиях теплоемкости урана при т-рах 17,2—263,8 К, проведенных в Мюнхенском физ.-хим. институте в течение 1943—1944 гг. Результаты определения теплоемкости урана сравнены с имеющимися лит. данными. Библ. 38.

В. Ф. Байбуз

X.1990, N6

Уран

1989

12 В290. Масс-спектрометрия ядерных материалов— описание деталей. Mass spectrometry of nuclear materials—attention to detail / Shields W. R. // JNMM.— 1989.— 18, № 1.— С. 25—28.— Англ.

Рассмотрены усовершенствования, к-рые были внесены в масс-спектрометрию образцов урана и позволили уменьшить уровень шумов с 1—2% в 1958 г. до 0,2% к 1963 г. и до 0,02% к 1966 г. Дальнейшие усовершенствования связаны с автоматизацией измерений. Погрешность измерения отношения $^{235}\text{U}/^{238}\text{U}$ доведена до 0,1%.

А. В. Очкин

(масс-спектрометрия)

X. 1990, N 12

II

1990

| 3 Е696. Модель α - γ -перехода в металлическом
уране / Чачхиани Л. Г., Дмитриев В. П., Толедано Н.
 π Физ. тверд. тела (Ленинград).— 1990.— 32, № 8.—
С. 2298—2304

Показано, что геометрич. соотношения между кристаллич. решетками кубического γ - и ромбического α -U могут быть получены в модели переориентирующихся несферич. атомов. Обсуждается, как эта модель качественно объясняет аномальное соотношение между коэф. теплового расширения, согласуется со свойствами твердых растворов и магн. свойствами халькогенидов урана.

Резюме

разв. переход

phi. 1991, № 3

ll

1990

114: 15215v Model of the α - γ transition in metallic uranium.
Chachkhiani, L. G.; Dmitriev, V. P.; Toledano, P. (Gruz. Politekh.
Inst., Tbilisi, USSR). *Fiz. Tverd. Tela (Leningrad)* 1990, 32(8),
2298-301 (Russ). A geometric relationship is obtained between the
lattice parameters of the cubic γ and the rhombic α phase of U using
a model of reorientation of the nonspherical atoms. This model can
explain obsd. thermal expansion anomalies.

nonumop -
paper

C.A.1991, 114, N2

1991

ll

19 Б3107. Новые разработки для модулированных фаз а-U. New developments in modulated phases of α-U /Marmeggi J. C., Lander G. H., Brückel T., Zeyen C. M. E. //Phase Transit. В .—1991 .—31 ,№ 1—4 .—С. 145—155 .—Англ.

(T_z)

Методом дифракции Лауз белого нейтронного излучения в диапазоне т-р 2—43 К исследована структура модулир. фаз монокристалла а-U. Идентификация сверхпространственных групп получена из т-рных зависимостей компонент волнового вектора $q(T)$ и интенсивностей сателлитов. В диапазоне т-р 43—37 К существует несоразмерная фаза с $q_x=0,495(2)$ при 40 К. При 37 К происходит фазовый переход блокирования (1-го рода) компоненты x при $1/2$. Вектор q расщепляется на две компоненты, q_x и q_z , обнаружены сателлиты более высокого рода 3-, 5-, 7- и 9-й гармоник общей волны зарядовой плотности. При 22 К происходит фазовый переход 1-го рода с $q_y=1/6$ (точно соразмерной) и $q_z=5/27=1/6+\delta_z$, где $\delta_z=1/54$. Вероятный кристаллографич. путь для переходов: C2/m11 (q_x , q_y , q_z) для интервала 43—37 К, P211 (1/2, q_y , q_z) ниже 37 К. Ниже 37 К происходит формирование прямоугольных модуляций искажения волн зарядовой плотности.

X. 1992, N 19
B. A. Ступников

II

LM: 35865 |

1991

Cu. Supra

Kelowitz L., Blomquist
R.A. et al;

(Tz2,5Hz) J. Nucl. Mater. 1991,
184, VI, 59-64.

	T_{tr} (°C)	T^o C	ΔH кал/моль	T_{TB}
$\alpha \rightarrow \beta$	669	668 ± 2	0,667	$0,67 \pm 0,03$
$\beta \rightarrow \gamma$	276	475 ± 2	1,137	$1,14 \pm 0,04$
γ -liq, 1135	1134 ± 1		1,134	$0,2 \pm 0,2$
γ -liq, 2185 ???				

4(2)

Sheffield R.I., Mulford R.N.R.

1991

Correction to the uranium equation
of state.

J. Nucl. Mater., 1991, v. 185, p. 297-298

$Q_p = 50.2 \text{ J} \cdot \text{K}^{-1} \cdot \text{mol}^{-1}$

May
25. e

U_{12}

[91 SHE/Mu δ]

1991

$C_p =$

Sheldon R.I., Malford R.N.R.

= 50,2 J. Correction to the uranium equation
(1408 - 5000K) of state
J. Nucl. Mater., 1991, 185, p. 297-298

Абсолютно скептически результаты WSM, $C_p(U, m)$ до 5000K методом измучивания непроверяется.

Найдено значение $C_p(U, m, 1408 - 5000K) = \underline{50,2}$ J.

(в 82 gJ/gK/°C; $C_p(21)$ падает от 47,9 до

58,4 J при 5000K), в concrete, ИНГАСС⁻)

T $C_p(m)$ Это изображение взятое из работы
1408 ~~44,34~~ с измерениями Stephens [448TE]

3900 46,45

5000 46,50

6000 46,57

$$C_p(U, m) = 48,5 \pm 1,3 \text{ Dm.K}^{-3} \text{ mol}^{-1}$$

U Söderling P., Johansson B.,
et al. 1991

mensoboe Int. J. Thermophys. 1991.

pacu-
remue 12, N.Y. C. 611-615.

(cu. Th; I)

U(g)

[92BZA/WYR]

1992

Blaise F., Wyart J.F.

"Selected constants: Energy levels,
and atomic spectra of actinides,
Tables Internationales des Constantes,
1992, Paris.

U(Or), Tiukov & [92GRE/FUG] (to 2500K!) 1992

Grenthe T, Fuger J, et al.

Chemical thermodynamics of Uranium.
Amsterdam et al., NEA, 1952, p.61

$a = 2,69199(+01)$

$b = -2,50203(-03)$

$c/d = 2,65558(-05)$

$e = -7,69856(+04)$

$T_{\min} = 298$

$T_{\max} = 941$

$C_p^o(T) = a + bT + cT^2 + dT^{-1} + eT^{-2}$

$U(g)$

[92GRE/FUG]

1992

Crenthe T.; Fuger F., et al.

Chemical Thermodynamics of Uranium.

Amsterdam et al., NEA, 1992, p. 69.

$$a = -4,68380(+00)$$

$$b = 1,40637(-02)$$

$$c/d = -1,41995(+04)$$

$$e = -2,16503(+06)$$

$$T_{min} = 298$$

$$T_{max} = 2500$$

$$C_p^o(T) = a + bT + cT^2 + dT^{-1} + eT^{-2}$$

U(g)

[92GRE/FUG]

1992

Grenther I., Fuger J., Konings R.J.M.,
Lemire R.H., Muller A.B., Nguyen-Truong C.,
Wanner H.

"Chemical Thermodynamics of Uranium,"
Wanner H., Forest I., Nuclear Energy
Agency, Organisation for Economic
Co-operation, Developments Eds., Vol. 1.

"Chemical Thermodynamics" North Holland
"Elsevier Science." Publishers B.V.,
Amsterdam, The Netherlands (1992.)

U(cr)

[92GRE/54G]

1992

Grenthe I., Fuger J., et al.

Chemical Thermodynamics of Uranium.
Amsterdam et al., NEA, 1992, p. 30.

$$S_{298}^{\circ} = 50,200 \pm 0,200 \text{ J} \cdot \text{K}^{-1} \cdot \text{mol}^{-1}$$

$$C_p^{298} = 27,660 \pm 0,050 \text{ J} \cdot \text{K}^{-1} \text{mol}^{-1}$$

$U(g)$

[92 GRE/FUG]

1992

Grenthe I., Fuger J. ... et al.

Chemical Thermodynamics of Uranium.

Amsterdam et al., NEA, 1992, p. 30.

$$\Delta_f G_{298}^{\circ} = 488,400 \pm 8,000 \text{ kJ mol}^{-1}$$

$$\Delta_f H_{298}^{\circ} = 533,000 \pm 8,000 \text{ kJ mol}^{-1}$$

$$\Delta_f S_{298}^{\circ} = 199,790 \pm 0,100 \text{ J K}^{-1} \text{ mol}^{-1}$$

$$C_p^{\circ}_{298} = 23,690 \pm 0,040 \text{ J K}^{-1} \text{ mol}^{-1}$$

U(C)

[92 GRE/FLIG]

1992

Grenthe, I., Fuger, J., Konings, R.J.M.,
Zemize, R.J., Muller A., B., Nguyen-Trung, C.,
Wanner H.

"Chemical Thermodynamics of
Uranium"; Elsevier Science Publishers B.V.,
1992, Amsterdam, NL.

$U(K, \mu)$ $T_{\text{m}} = \sim 3300K$ mpa $P = 0.12 \text{ GPa}$ [1993]

(MURNOGUN
18-6a)

$T \leq 3300K$

$P \leq 0.12 \text{ GPa}$

C. A. 1994, 120, N.Y.

120: 38806b High-pressure thermophysical properties of solid and liquid uranium. Boivineau, M.; Arles, L.; Vermeulen, J. M.; Thevenin, T. (Cent. Etud. Bruyeres-le-Chatel, Bruyeres-le-Chatel, Fr.). *Physica B* (Amsterdam) 1993, 190(1), 31-9 (Eng). The thermophys. properties of solid and liq. uranium have been studied up to 3300 K under a 0.12 GPa static pressure by using the isobaric expansion expt. (IEX). The submillisecond heating dynamic technique has been used to investigate measurements such as enthalpy, vol. expansion, elec. resistivity and sound velocity. Uranium exhibits a 2.5% vol. expansion at melting and the sound velocity in the liq. state seems to remain const. as a function of temp. (or d.).

Boliviacaui sp.

1995

Physica B. (clusterianus), 1993, 190, VI,
p. 31-39 Tenebras. cl.-la tb. 4 xi,
upravni npr. leccocoxus galloensis
(do 3300L npr. zelen. 0.12 gPa)

U.

[93 MCB/GOR]

1993

McBride B.J., Gordon R., Reno M.A.

Thermodynamic data for
fifty reference elements,
NASA, 1993, 3287, Ohio, USA, 7

Cupalo:
no T.CB - basis
full version

Редагерат чи. кацп-147-148 дополненій
K Cupalorunvali, T.C. Урачебный земесод

Для и зазорения Т.С. и $\varphi = f(T)$ подставим
с данными [82 GLA/GUR]! Затем можем
написать уравнение для $\varphi(x-T)$ при
 $T = 298 - 942 K$, - примут данные из спецификации
[76 OET/RAN] (Ch.Th. of actinide el,
Part 1, эмиссия!) Vienna, 1976, IAEA

$U(T_{II})$

Yoo C.S.

1993

120: 87255e High-pressure melting temperatures of uranium: laser-heating experiments and theoretical calculations. Yoo, C. S.; Akella, J.; Moriarty, J. A. (Lawrence Livermore Natl. Lab., Univ. California, Livermore, CA 94551 USA). *Phys. Rev. B: Condens. Matter* 1993, 48(21), 15529-84 (Eng). The melting temps. of uranium have been measured to 45 GPa with an inert Ar pressure medium in a diamond-anvil cell using a spatially resolved laser-heating system. The temp. was measured with $1.4 \mu\text{m}$ at the center of laser-heating spot using reflecting optics, and the melting was visually obsd. as the material flows forming a microchannel and/or by a shape change in the edge of the sample. Theor., the melting curve has also been calcd. to 100 GPa in γ (bcc) solid and liq. free energies derived from generalized pseudopotential theory. The calcd. melting temps. agree well with the exptl. measurements. It is also found that the theor. melting curve obeys a Lindemann scaling law for solid densities up to about 25.5 g/cm^3 , corresponding to 100 GPa in pressure.

(T_m spc fr
correl galne -
Hull)

C.A.1994, 120, N8

4

1994

Eriksson Olle,
Wills J. M. et al.

(T_{tz}) J. Alloys and Compounds.
1994, N213-214, C. 288-279.

(Ces. Th; -)

U(?)

1994

122: 36429y Vapor pressures of U(g) and Ce(g) over $(U_{(1-y)}Ce_y)_C$ ($y = 0.10, 0.21, 0.24$) determined by Knudsen effusion mass spectrometry. Naik, J. S.; Venugopal, V.; Kulkarni, S. G.; Subbanna, C. S.; Sood, D. D. (Fuel Chemistry Division, Bhabha Atomic Research Centre, Bombay, 400 085 India). *J. Alloys Compd.* 1994, 215, 83-9 (Eng). The vapor pressures of Ce(g) and U(g) over mixed uranium and cerium carbides were detd. by measuring the partial pressures of Ce(g) and U(g) species in the temp. range 1491-2233 K. The Ce content varied from 11 to 24 mol%. As the samples contained different quantities of non-metals such as O and C, the compns. of mixed carbides belonged to different phase fields. On the basis of vapor pressures and compn., the dependence on the partial pressures in different phase fields were analyzed. The partial pressures of Ce(g) and U(g) for different sample specifications are given by equations. The chem. activities of U au and Ce ac. were evaluated. Values of au at 2100 K for the three samples resp. are 0.32, 0.29 and 0.23, whereas the values of ac. at 2100 K are 0.018, 0.127 and 0.91. The high ac. value for 24 at.% Ce seems to indicate the presence of almost pure liq. Ce metal phase.

P, Krugan.
MacCormick

(7) 10

C. A. 1995, 122, NY



6(2)

U Aggarwal 1995 (XRD13!)

128: 107992p Ion source chemistry during thermal ionization mass spectrometry of U and Pu: effect of evaporation filament

temperature. Aggarwal, S. K.; Saxena, M. K.; Shah, P. M.; Kumar, Sanjai; Jairaman, Usha; Jain, H. C. (Fuel Chemistry Div., Bhabha Atomic Res. Center, Bombay, 400 085 India). NUCAR 95: Proc. Nucl. Radiochem. Symp. 1995, 335-336 (Eng). Edited by Kulkarni, S. G.; Manohar, S. B.; Sood, D. D. Bhabha Atomic Research Centre: Bombay, India. Studies were carried out for the differences in the evapn. and ionization behavior of U and Pu. U^+ and UO^+ ions appear at lower evapn. filament temp. compared to Pu^+ . The ion current of Pu^+ was 5 to 10 times more than that of U^+ under conditions of their simultaneous analyses. The coexistence of oxides of Pu and U on the evapn. filament appears to enhance the stability of UO^+ .



②

Pu^+

2

UO^+ (crustum)



C.A. 1998, 128, N9

Список публикаций
УРАН

1995

16 Б38. Адиабата урана до давлений в 4 ТПа.: [Докл.] на Междунар. конф. «Удар. волны в конденсир. веществах», Санкт-Петербург, 1994 / Альтшулер Л. В., Баканова А. А., Бражник М. И., Жучихин В. И., Кормер С. Б., Крупников К. К., Трунин Р. Ф. // Хим. физ. — 1995 — 14, № 2—3. — С. 65—67. — Рус.

Приведены данные по ударной сжимаемости урана. Максимальные давления в 4 ТПа получены в опыте при подземном ядерном взрыве.

Х. 1995, N 16

Yoo et al (T_m = 4300K upon P = 100 GPa) 1998

[98 YOO/CYN] / 129: 20141g Phase diagram of uranium at high pressures and temperatures. Yoo, Choong-Shik; Cynn, Hyunchae; Soderlind, Per (Physics and Space Technology Directorate, H-Division, Lawrence Livermore National Laboratory, Livermore, CA 94551 USA). *Phys. Rev. B: Condens. Matter Mater. Phys.* 1998, 57(17), 10359–10362 (Eng), American Physical Society. The phase diagram of uranium has been studied to 100 GPa by in situ diamond-anvil cell x-ray/laser-heating expts. The γ (bcc) phase is discovered at high pressures, and the melting curve is presented to 100 GPa. The γ phase, $B=113.3$ GPa, is approx. 20% softer than the α (orthorhombic), $B=135.5$ GPa. The vol. change in the α/γ transition shows a strong pressure dependence, ranging from 6% at ambient pressure to less than 1% at 80 GPa. Free-energy calcns., using Debye–Gruneisen quasiharmonic theory, show that the softer bulk modulus of the γ phase, compared to the α phase, stabilizes the γ phase at high temps.

Phase diagram
of Uranium

C.A. 1998, 129, N2

У стад. X-рент до 100 ГПа и $T = 4300K$,

с избыточной температурой

β -фаза стабильна до ~ 3 ГПа, α -жидк. фаза

стабильна до 70 ГПа при $\sim 2000K$, ~~и~~ фаза (bcc) в
равновесии с жидким ураном при всех давл.

- * $V_m(\gamma-\alpha)$ уменьшается с ростом давления
- * $T_{fus}(n)$ меняется как функция P до 100 ГПа,
 $\text{т.e. } \overline{T}_{fus} = \sim 4300K$.

2L (T_m)?

DM 39942

1999

F: U

P: 1

131:356364 Melting-point measurements at high static pressures from laser heating methods: application to uranium. Sitaud, B.; Thevenin, Th. Commissariat a l'Energie Atomique, Centre de Valduc Is-sur-Tille F- 21120, Fr. Int. J. Thermophys., 20(4), 1189-1198 (English) 1999

Two exptl. approaches dealing with the detn. of melting at high static pressures are described and analyzed. With the sample squeezed inside a anvil cell, high temps. up to the solid-liq. transition are obtained usin Nd:YAG laser heating.

Two methods have been investigated. In the first technique, the heating is accomplished with a pulsed laser and the brief radiation variations (t

< 10 ms) emitted from the sample are recorded with high-speed IR detectors. The melting location is defined by a plateau or changes of slope of the signals, and the temps. are calcd. by assuming a value of emissivity factor at the end of the transition over the studied pressure range. The second system employs a continuous laser and a two-dimensional CCD detector to measure temps. using multispectral pyrometry. Melting is detected from criteria related either to textural change in the sample involving interference contrast under a laser illumination or to specific variations of temp. and emissivity as a function of laser power. Thermal radiation is fitted to Planck's law with temp. and emissivity as free parameters. Advantages and drawbacks are presented from results obt on pure uranium.

1999

(UO₂²⁺)
F: UO₂₂₊

P: 1

131:219382 Application of Relativistic Quantum Chemistry to the Electronic Energy Levels of the Uranyl Ion. Zhang, Zhiyong; Pitzer, Russell M. (Department of Chemistry, The Ohio State University, Columbus, OH 43210, J. Phys. Chem. A, 103(34), 6880-6886 (English) 1999 The ground and excited electronic states of the uranyl ion UO₂₂₊ are computed using relativistic core and spin-orbit potentials and multireference graphical unitary group approach CI as implemented in the COLUMBUS suite programs. Excitation energies, sym. stretch vibrational frequencies, and angular momentum coupling properties are compared to the extent possible spectroscopic data from Cs₂UO₂C₁₄ and CsUO₂(NO₃)₃.

U

Ho, Kuo et. al. February 1.

2000

F: U

P: 1

133:125847 Thermodynamic study of the behavior of uranium and plutonium during thermal treatment under reducing and oxidizing modes. Ho, T. C.; Kuo, T. H.; Hopper, J. R. Department of Chemical Engineering, Lamar University

Beaumont, TX 77710, USA. Waste Manage. (Oxford), 20(5/6), 355- 361 (English) 2000. This study investigated the equil. compns. of uranium and plutonium under various thermal treatment conditions using an incineration equil. calcn. program. The treatment conditions examd. included temp., oxygen level (either reducing or oxidizing), and the existence of chlorine. In a simulation, a selected waste contg. either uranium or plutonium

was input to the program along with the desired treatment conditions. The program then performed the free energy calcns. and searched for the optimum compn. which minimizes the total system free energy. The simulation results have indicated that, under a reducing mode, uranium tends to stay in a solid phase as $UO_2(s)$ up to 1500 .degree.C; however, under an oxidizing mode, it will exist as $U_3O_8(s)$ up to 1100 .degree.C. As the temp. increases, the solid-phase compds. either vaporize or decomp. into various vapor-phase compds. Under a reducing mode, all the preferred compds. will be in vapor phase when the system temp. is above 1900 .degree.C; under an oxidizing mode, this temp. is 1450 .degree.C. For plutonium, the thermodynamically preferred solid-phase compd. is $PuO_2(s)$ up to about 1500 .degree.C under either a reducing or an oxidizing mode. As the temp. increases, the compd. will vaporize mainly into its vapor phase, i.e. $PuO_2(g)$, up to about 2000 .degree.C. Above this temp., the system contains only vapor-phase compds. In addn. to equil. compn., the effective vapor pressure and the fraction in vapor phase for the two metals have also been evaluated. The existence of chlorine has not been found to affect the simulation results significantly. The simulation results have been compared with those generated from the HSC program and the results have indicated that the HSC program contains inappropriate thermodn. data for uranium and plutonium simulations.

Albers. Cm.

2000

F: U

P: 1

133:271919 Actinide electronic structure and
atomic forces. Albers, R. C.; Rudin, Sven P.;
Trinkle, Dallas R.; Jones, M. D. Los Alamos
National Laboratory — Los Alamos, NM 87545, USA

AIP Conf. Proc., 532(Plutonium Futures--The
Science), 412-413 (English) 2000. The
authors present band structures and energy-vol.
curves calcd. by tight-binding and LDA methods for
U.

U(α)

Do 12 000 K?

Fischer

2000

"Thermische U(α) u. thermodynamische
Gesetze.

Mengenfaktor
gaffel, Tepuis

$T_{kp} = 12\ 000\text{ K?}$

132: 353381f Density of liquid uranium and derived equation of state. Fischer, E. A. (Forschungszentrum Karlsruhe GmbH, 76021 Karlsruhe, Germany). *Wiss. Ber. - Forschungszent. Karlsruhe* 2000, (FZKA 6387), 1-30 (Eng). The thermodn. data of liq. uranium are reviewed, with special attention to the d., for which dynamic measurements were carried out in 1988. The d. data are extrapolated to the crit. point, assuming that the Law of Rectilinear Diam. holds. This extrapolation provides an alternative to earlier evaluations available in the literature. The crit. temp. of the present work is lower than the earlier ests. The problems and uncertainties are discussed. In the frame of the present work, d. and enthalpy values on the satn. line are evaluated. In spite of still existing uncertainties, these values can be recommended for use in fast reactor accident anal. codes, e.g. SIMMER-III.



C. A. 2000, 132, N° 6

Li

(OH · 40274)

2000

Péricaud M.,
J. Phys. Condens. Matter. 2000,
12, 5819-29.

Calculated equilibrium properties,
electronic structures and
structural stabilities of
Th, Pa, U, Np and Pu

Wachter

2000

Wachter

F: U

P: 1

133:271799 The electronic structure and elastic properties of the actinide chalcogenides (U,Np,Pu,Am): The puzzle of AmTe. Wachter, P.; Filzmoser, M.; Rebizant, J. Laboratorium fur Festkorperphysik Zurich 8093, Switz. AIP Conf. Proc., 532(Plutonium Futures--The Science), 29-31 (English) 2000. A short review with 6 refs.

Wang

2000

133:110572 Research on extraction mechanism of U(VI) in nitric acid medium with N, N, N', N'-tetrabutyladipicamide. Wang, You-shao; Sun, Guo-xin; Bao, Bo-rong Laiyang Agriculture College Laiyang 265200, Peop. Rep. China Youkuangye, 19(1), 51-55 (Chinese) 2000. The extn. mechanism for U(VI) in nitric acid solns. with N, N, N', N'-tetrabutyladipicamide (TBAA) was studied. The effects of nitric acid concn., UO_2^{2+} concn., TBAA concn. and temp. on distribution coeffs. of U(VI) have been studied. The compn. of the complex is $\text{UO}_2(\text{NO}_3)_2 \cdot \text{cntdot} \cdot \text{TBAA}$. Extg. HNO_3 with TBAA and reextn. behaviors of U(VI) from the org. phase have been undertaken and the equil. const. and thermodynamical functions of the extn. reaction have been calcd. The IR spectra of satd. ext. was also studied.

4

Om. 41041

2001

Lashley F.C.

C_p

0,1-110K

$T_{tr} = 0,78K$

= 23K, = 42K

① F: альфа-У λ -U (C_p , 0,1-110K, T_{tr})
P: 1

02.19-19Б3.24. Н изкотемпературная теплоемкость и критическое магнитное п кристаллов 'альфа'-урана.
Low-temperature specific heat and critical magn
field of 'альфа'-uranium single crystals / Lashley
J. C., Lang B. E., Boerio-Goates J., Woodfield B.
F., Schmiedeshoff G. M., Gay E. C., McPhee C. C.,
Thoma D. J., Hults W. L., Cooley J. C., Hanrahan R.
J. (Jr), Smith L. // Phys. Rev. B : Third Series. -
2001. т. 63, N 22. - С. 224510/1-2245 - Англ.

Измерены теплоемкость и электрич. сопротивление
'альфа'-урана в области температур 0,5-110 и 0,1-
0,50 К соответственно. Резкое падение сопротивле
при температуре $T[c] = 0,78$ К соответствует переходу
соединения в сверхпроводящее состояние, при этом
отношение остаточной проводимости к п при

температуре ниже $T[\text{с}]$ равняется 115. Форма температурной зависимости теплоемкости показывает существование трех фазовых переходов в точках 23, 42 К соответственно, которые связаны с 'альфа'[1], 'альфа'[2] и 'альфа'[3 ВЗП-структур. Анализ данных приводит к значению электронной теплоемкости ' γ '=0,13 мДж/К²*моль и низкотемпературного предела температуры Дебая. Библ. 22.

d - II

[Om. 41041]

2081

Lashley J.C., et al.,

Lang B.E., Boer & Goates J., Woodfield B.F.

Phys. Rev., 2081, 63B,

(p. 10 - 110K) 224570- \pm Schmeidels Hoff G.H. /

- 224510-7 Gay E.C., McPheeeters C.C.
u op. !!!

(8 copies)



2001

135: 172128v Thermochemical study of uranium by ab initio quantum chemical calculations. Yang, Tianxiao; Tsushima, Satoru; Suzuki, Atsuyuki (Department of quantum Engineering and Systems Science, School of Engineering, The University of Tokyo, Bunkyo, Tokyo, Japan 113-8656). *Genshiryoku Bakkuendo Kenkyu* 2001, 7(1), 75-79 (Japan), Nippon Genshiryoku Gakkai. Ab initio Hartree Fock (HF) theory and D. Functional theory (DFT) have been used to predict the Gibbs free energy of formation (ΔG°) for U (VI) hydrolysis complexes in view of radioactive waste repository safety. B3LYP is a better method to calc. the chem. properties of the complex and large mols. The calcns. were performed in the presence of solvent (water) by using the dielec. continuum modeling PCM method as well as the revised Born model. The pressure parameter $p = 1354\text{ atm}$ was used to reproduce the entropy of ions in soln. The calcd. energy demonstrates that PCM model is better than Born model in calcg. the hydration energy. The primary hydration shell was included in the calcn. The B3LYP calcd. results inclusive of the primary hydration shell and the PCM hydration energy have reasonable agreement with expts.

2002

ll

Ходаковский И.А.,
Сорокина Т.И. и др.,

Пермог. задачи для селекционеров упаковки, выявление и изучение "справочника пермог. решений науческого совета, техн. и инженерно-технической хим. практики".

Теүелсін 90км · ка XII мемлекеттегі
жер · № 11111 · Мерінесі. І · Немес
Сым, 1-бүштік, 280м, снр. 463
(к. 402 үйлі)

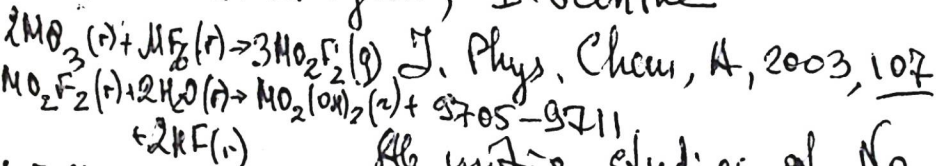
u, N_p, P_u

[Okto. 41938]

[2003]

дискуссия
результаты

B. Schimmelepfennig, T. Privalov,
E. Wahlgren, I. Gorenthe



All multio studies of Np
 $\text{KF}_6^{\text{(r)}} + 2\text{H}_2\text{O}^{\text{(r)}} \rightarrow \text{Mo}_2\text{F}_2^{\text{(r)}}$ and Pu complexes and reactions
 $\text{Mo}_3^{\text{(r)}} + \text{H}_2\text{O}^{\text{(r)}} \xrightarrow{+4\text{HF}^{\text{(r)}}} \text{Mo}_2(\text{OH})_2^{\text{(r)}}$ and
 $\text{NF}_6^{\text{(r)}} + 3\text{H}_2\text{O}^{\text{(r)}} \rightarrow \text{NO}_3^{\text{(r)}} + 6\text{HF}^{\text{(r)}}$.



Thermodynamics

21(2) Безащенко Д.К., Смирнова Д.Е., | 2010
Островский О.Н.

ТВТ, 2010, т. 48, №3, с. 383-395

Молекулярно-динамическое моделирование термодин. свойств жидкого урана.

Om. 42 405

надо
закончить